

# Tafeln

Objekttyp: **Appendix**

Zeitschrift: **Schweizerische Polytechnische Zeitschrift**

Band (Jahr): **13 (1868)**

PDF erstellt am: **12.07.2024**

## **Nutzungsbedingungen**

Die ETH-Bibliothek ist Anbieterin der digitalisierten Zeitschriften. Sie besitzt keine Urheberrechte an den Inhalten der Zeitschriften. Die Rechte liegen in der Regel bei den Herausgebern.

Die auf der Plattform e-periodica veröffentlichten Dokumente stehen für nicht-kommerzielle Zwecke in Lehre und Forschung sowie für die private Nutzung frei zur Verfügung. Einzelne Dateien oder Ausdrucke aus diesem Angebot können zusammen mit diesen Nutzungsbedingungen und den korrekten Herkunftsbezeichnungen weitergegeben werden.

Das Veröffentlichen von Bildern in Print- und Online-Publikationen ist nur mit vorheriger Genehmigung der Rechteinhaber erlaubt. Die systematische Speicherung von Teilen des elektronischen Angebots auf anderen Servern bedarf ebenfalls des schriftlichen Einverständnisses der Rechteinhaber.

## **Haftungsausschluss**

Alle Angaben erfolgen ohne Gewähr für Vollständigkeit oder Richtigkeit. Es wird keine Haftung übernommen für Schäden durch die Verwendung von Informationen aus diesem Online-Angebot oder durch das Fehlen von Informationen. Dies gilt auch für Inhalte Dritter, die über dieses Angebot zugänglich sind.

Hirn's Pandynamometer.

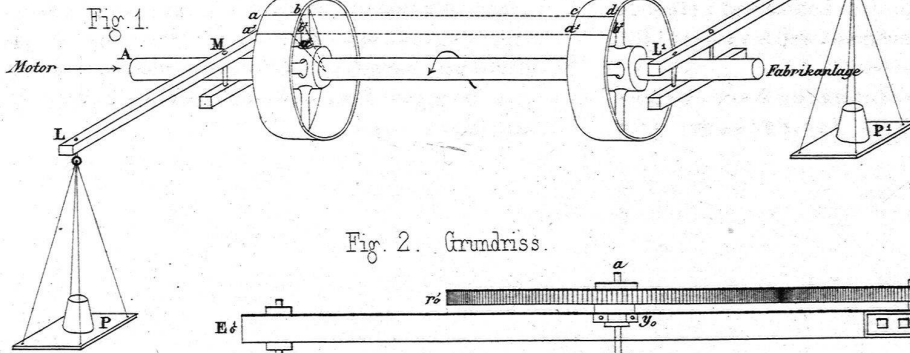


Fig. 2. Grundriss.

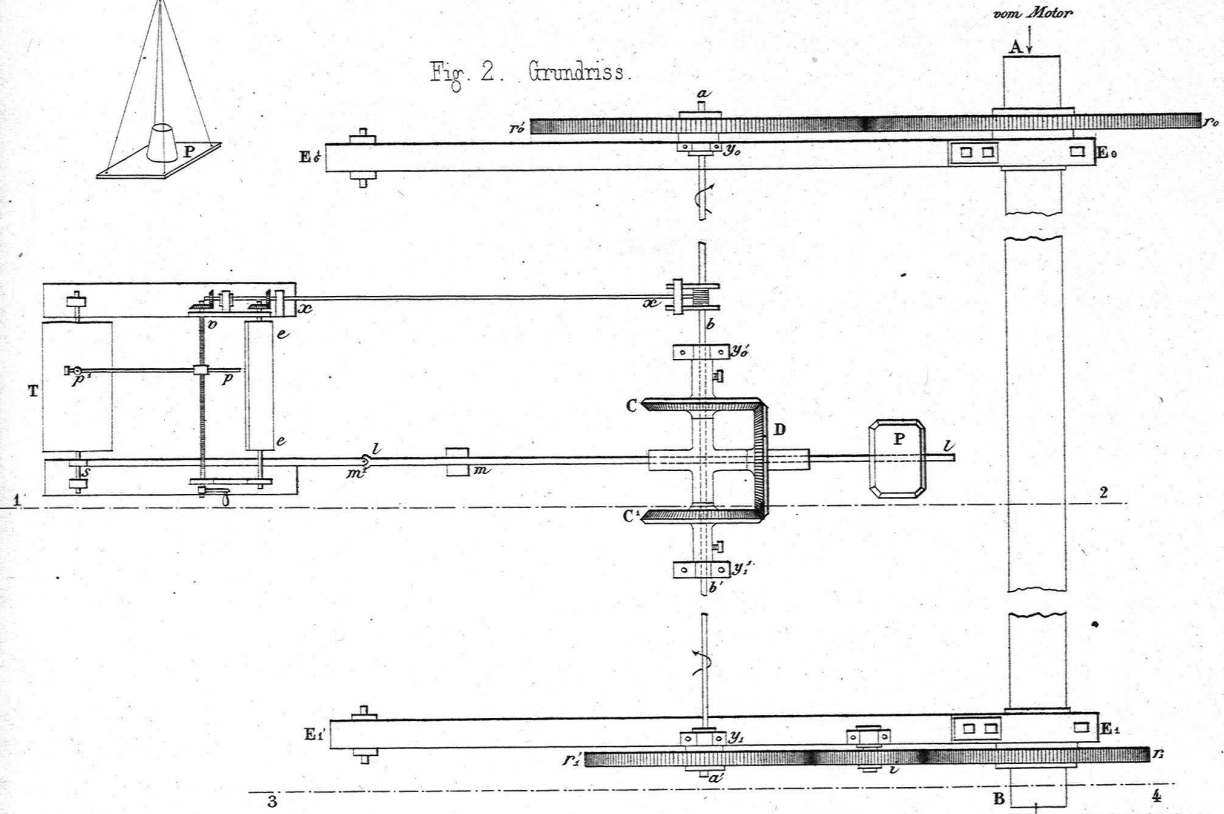


Fig. 3. Schnitt nach 1-2.

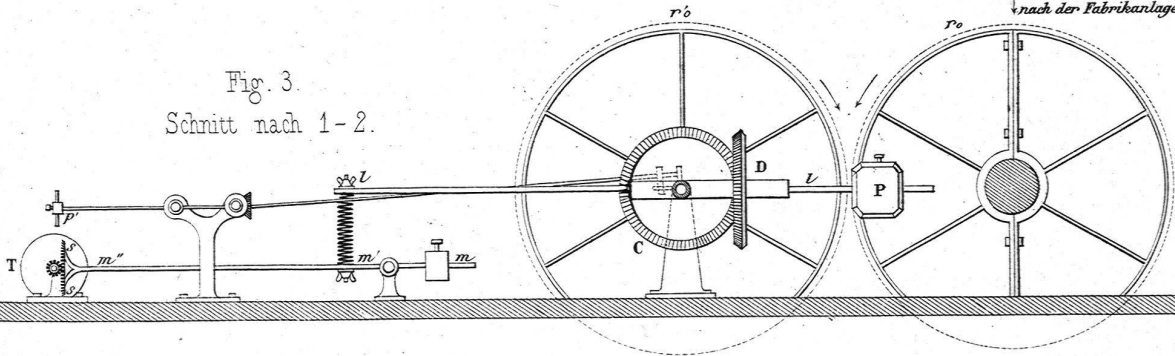
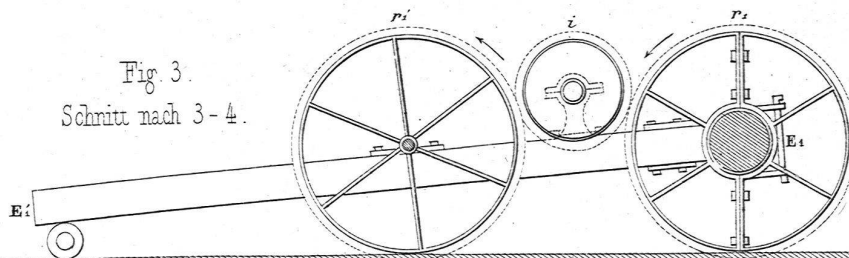


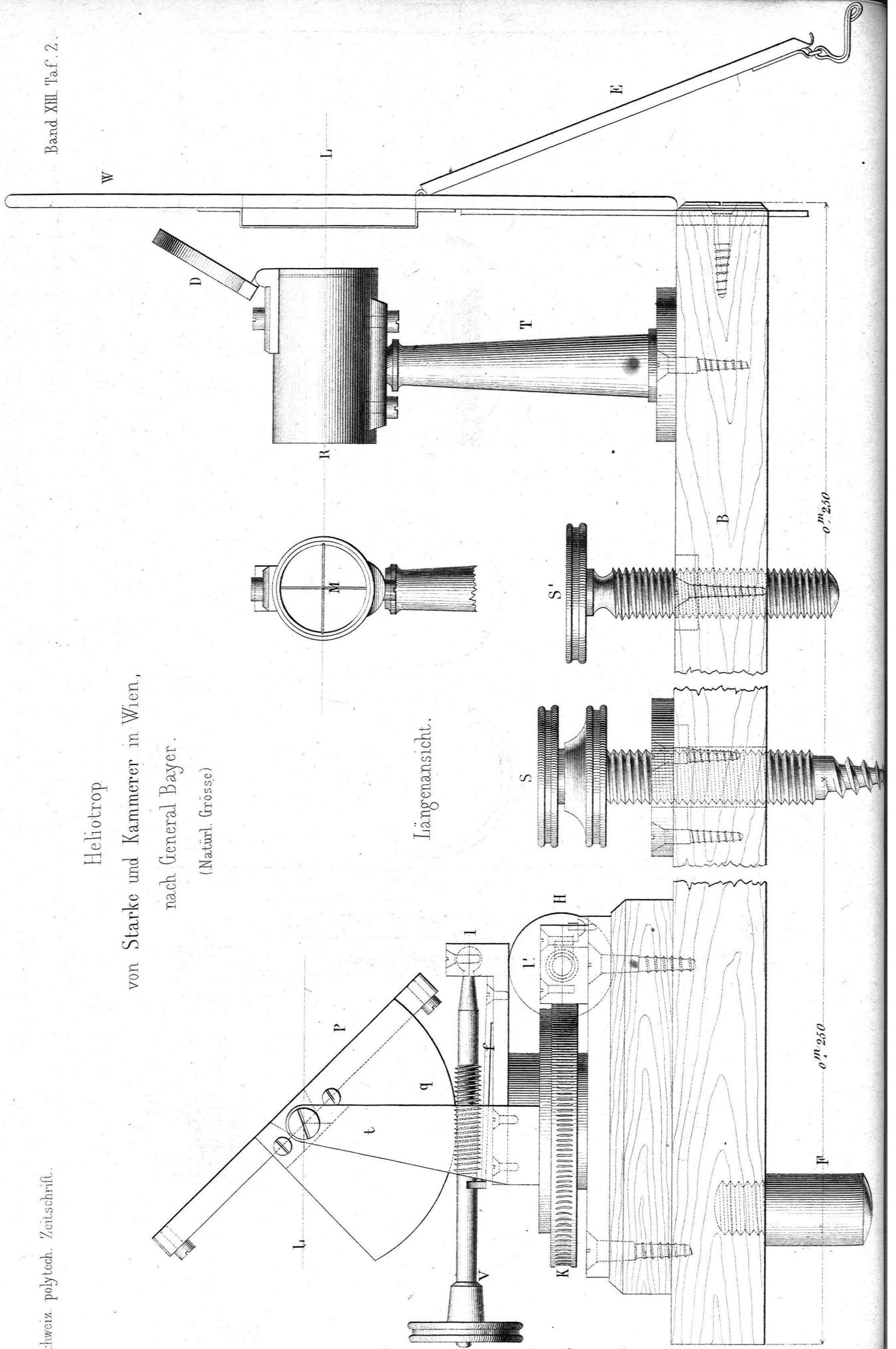
Fig. 3. Schnitt nach 3-4.



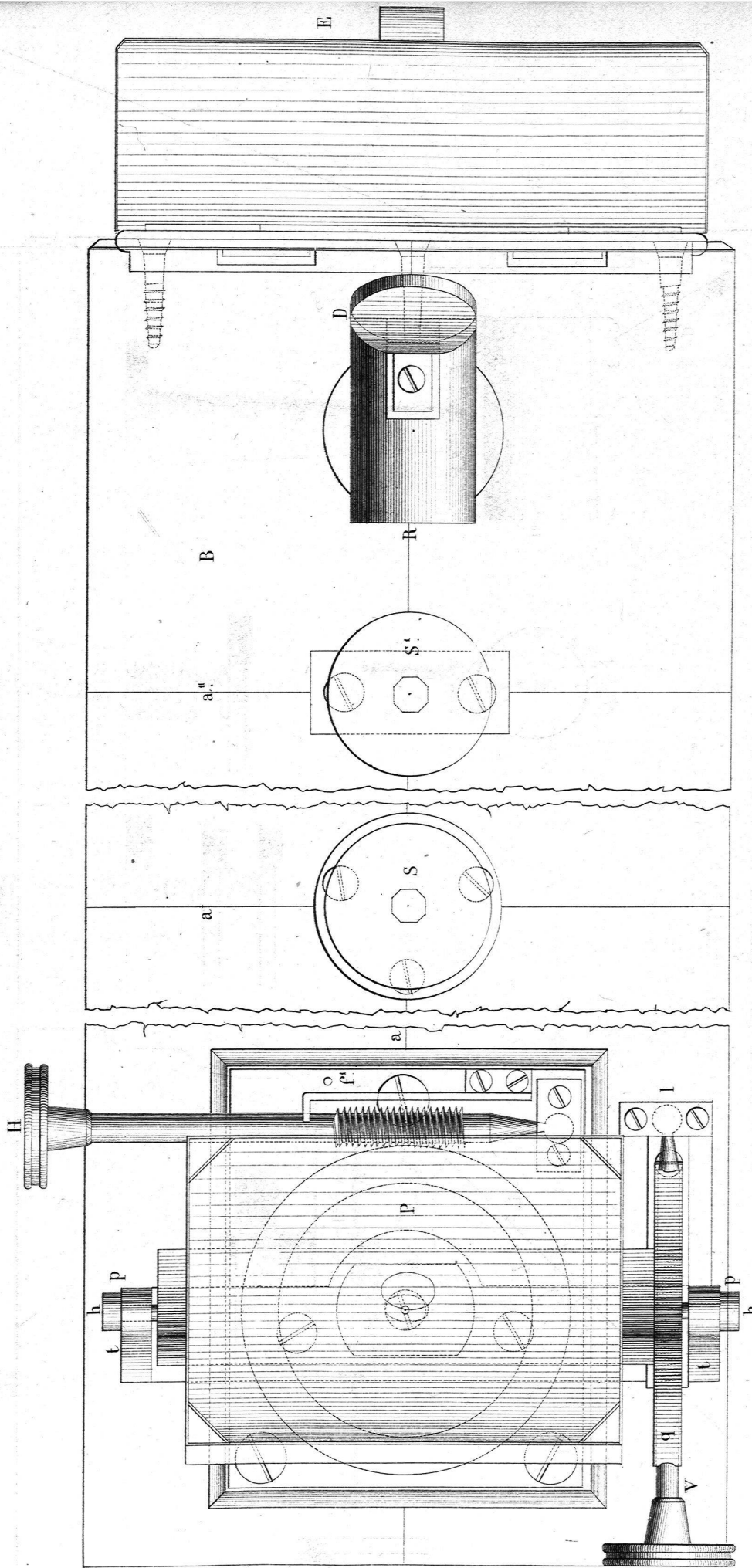
# Heliotrop

von Starke und Kammerer in Wien,  
nach General Bayer.

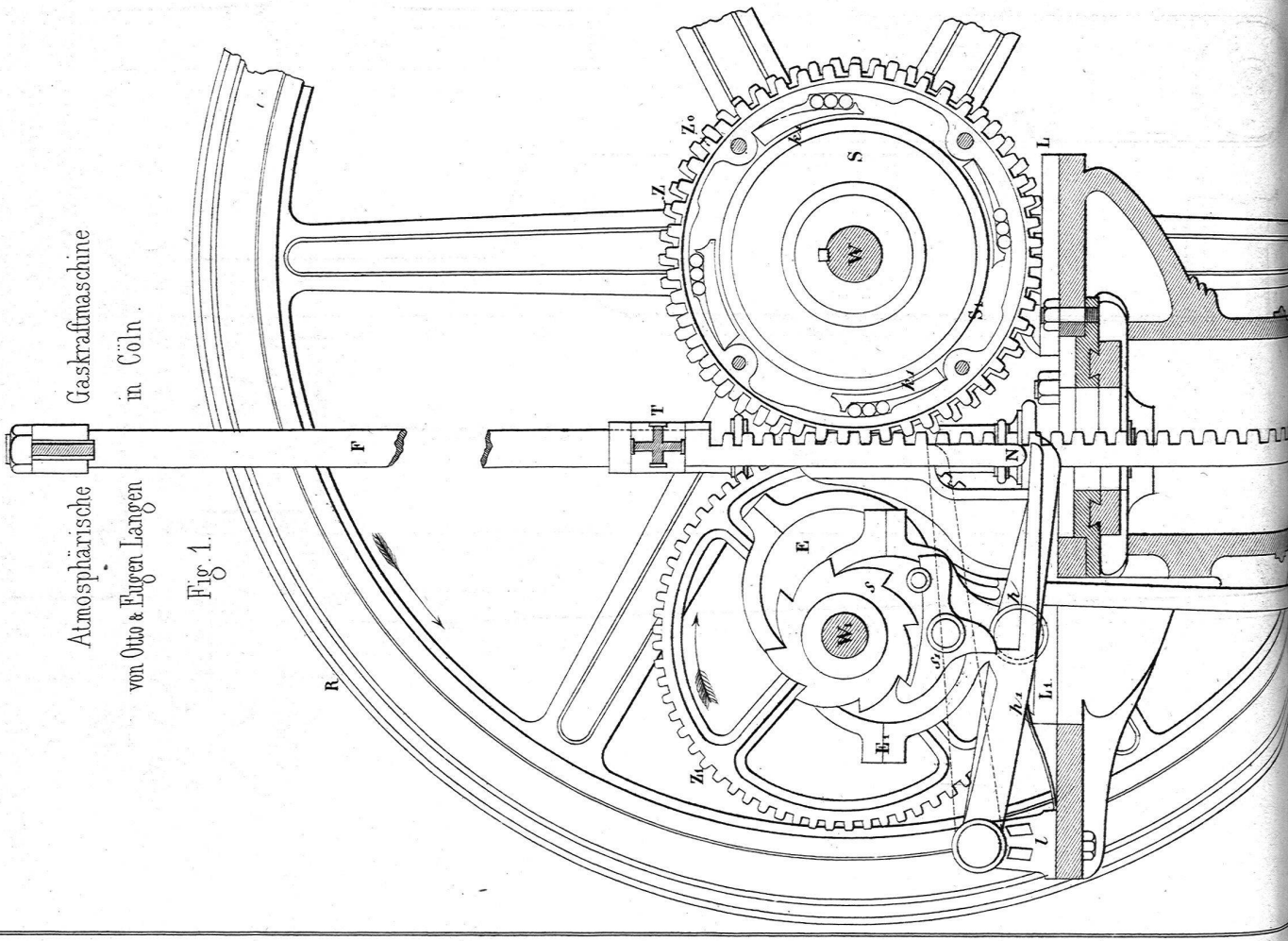
(Natürl. Grösse)



Grundriss.



Lith. Anstalt von Würster, Randegger & C. in Winterthur



Atmosphärische  
Gastrafmaschine  
in Cöln.

Fig. 1.

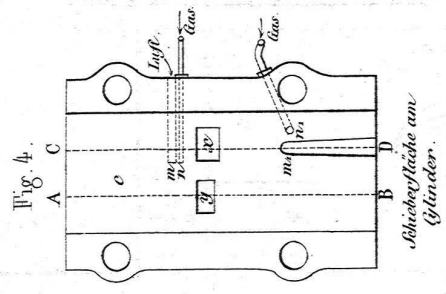


Fig. 4.

Abstreiffläche am  
Zylinder.

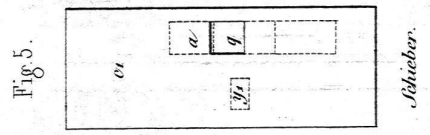


Fig. 5.

Schieber.

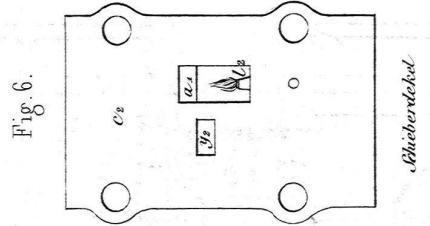


Fig. 6.

Abstreifstück

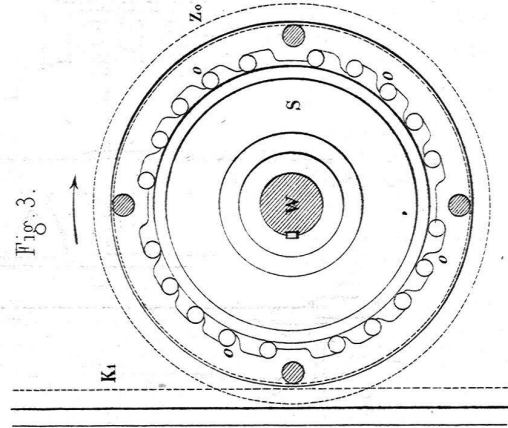


Fig. 3.

K1

Fig. 7.

Schnitt A-B  
Mittlere Stellung

Fig. 8.

Schnitt C-D  
Triebstange

Fig. 9.

Schnitt C-D  
im Moment der Einzündung

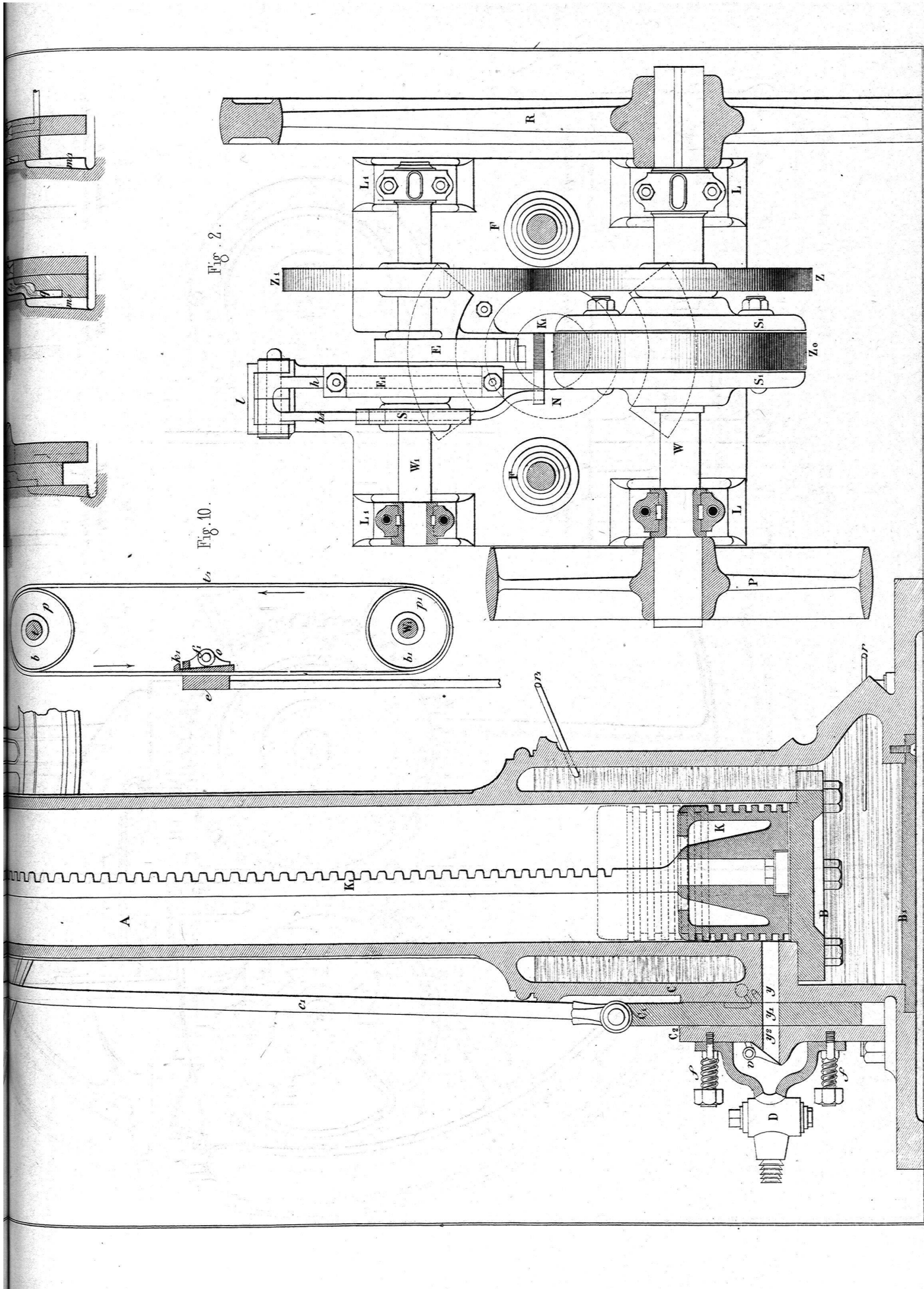
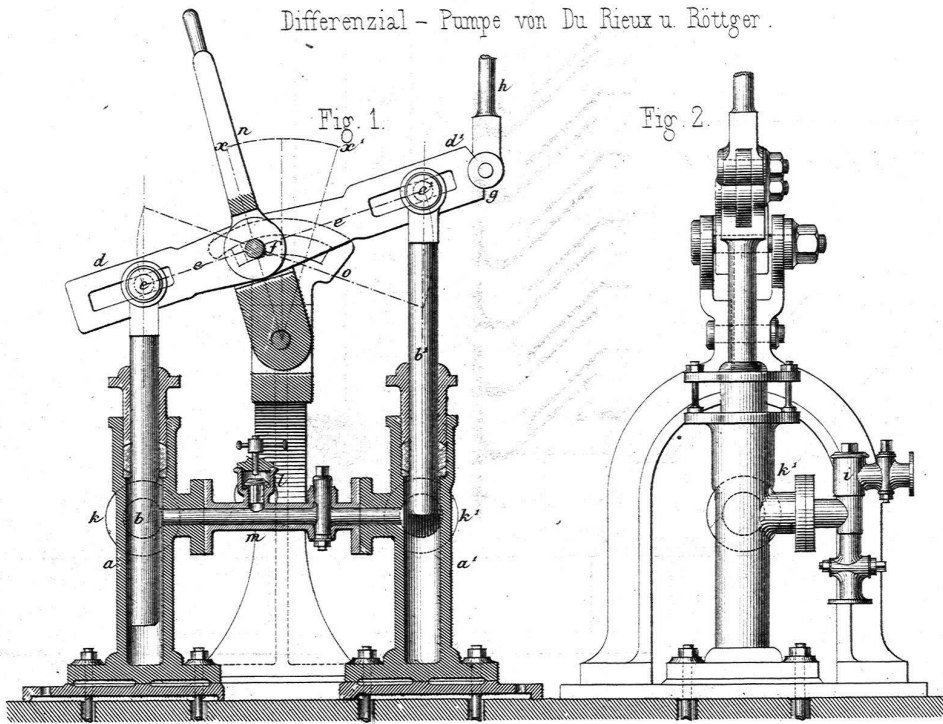


Fig. 2.

Fig. 10.

Differenzial - Pumpe von Du Rieux u. Röttger.



Gebr. Pfitzer, ob  
Fig. 11.

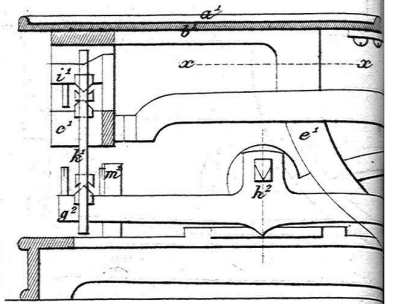


Fig. 12.

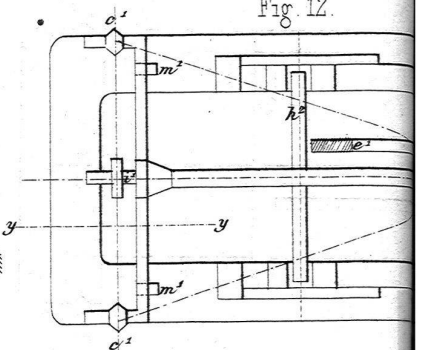
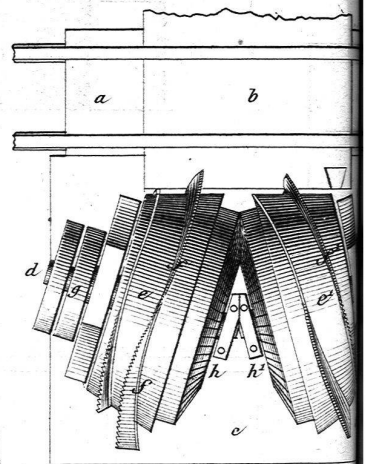
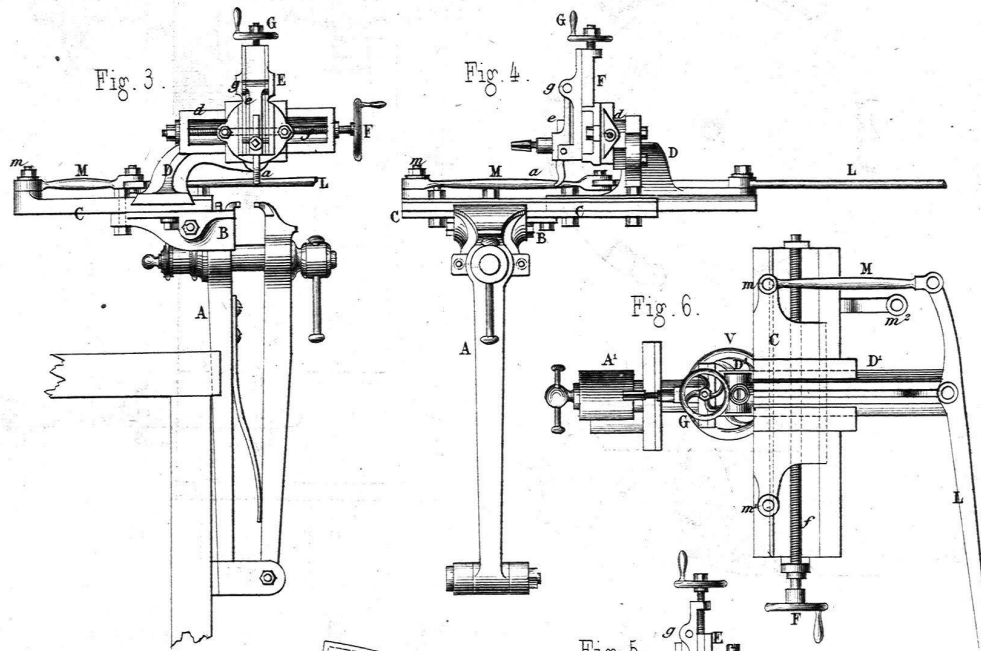


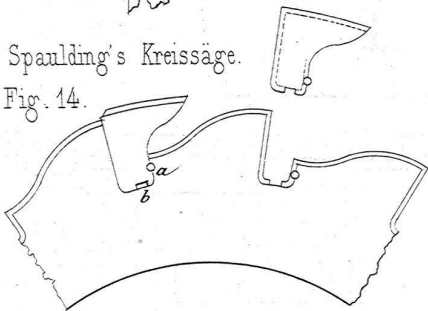
Fig. 15. Amerikanische Zink



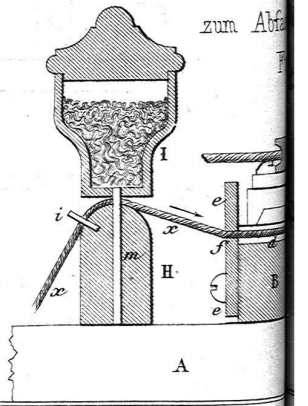
Vautrin's Handhobelmaschinen.



Spaulding's Kreissäge.  
Fig. 14.



Lutter  
zum Abfa



Leichtarmige Balkenwaage.

1/3.

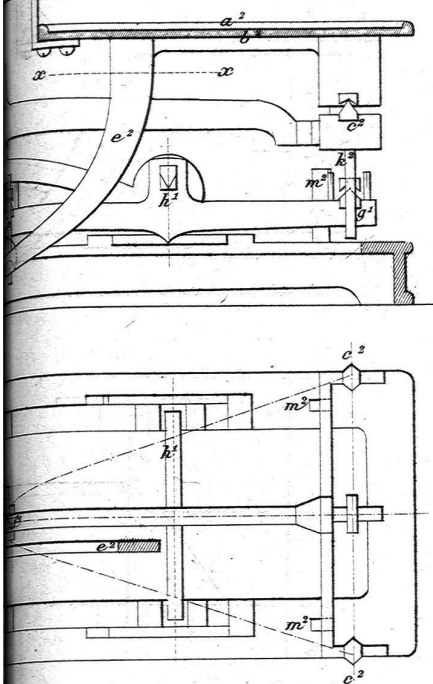


Fig. 20.

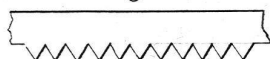
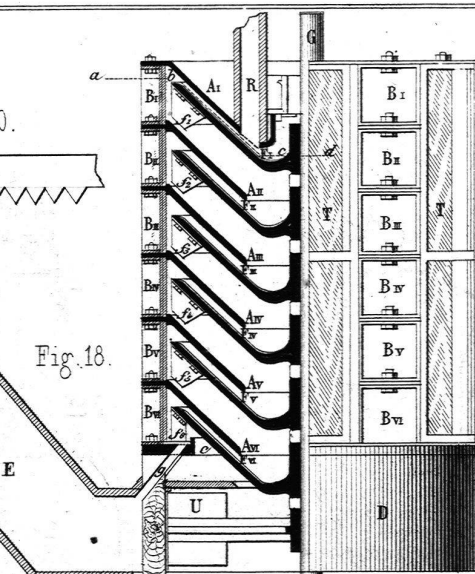
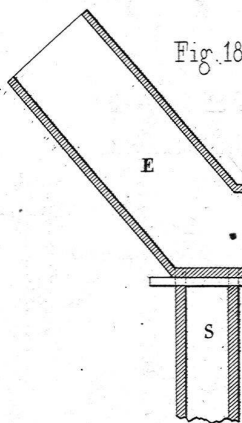


Fig. 18.



Keck's  
Getreideputz- und  
Schälmaschine.

Fig. 19.

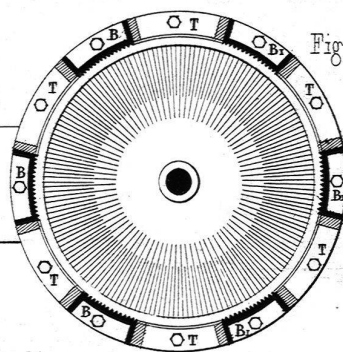
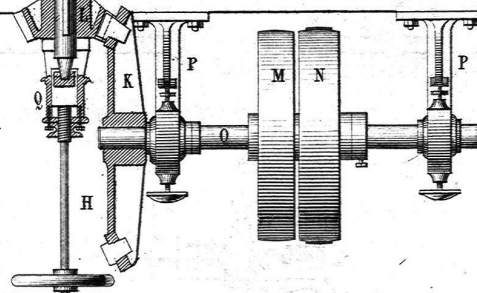


Fig. 13.

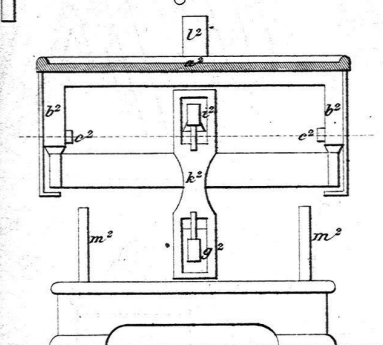


Fig. 10.

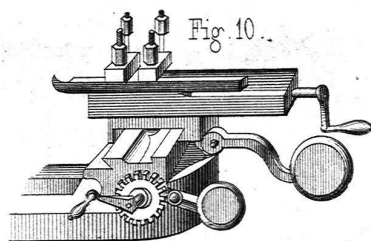


Fig. 9.

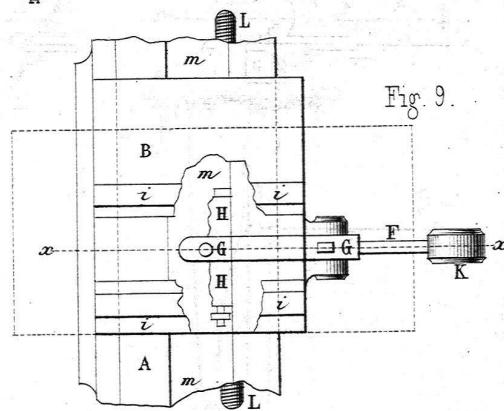
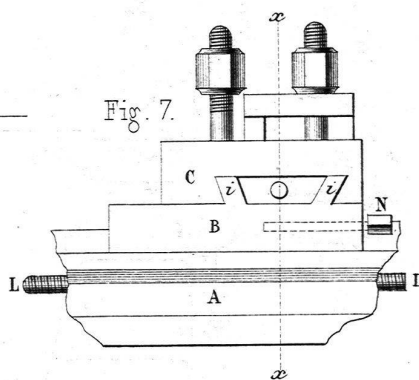


Fig. 7.



Curvensupport  
von Geb. Decker.

Fig. 8.

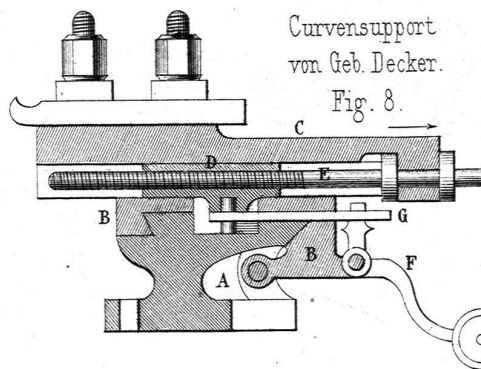
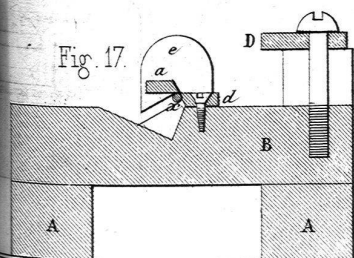
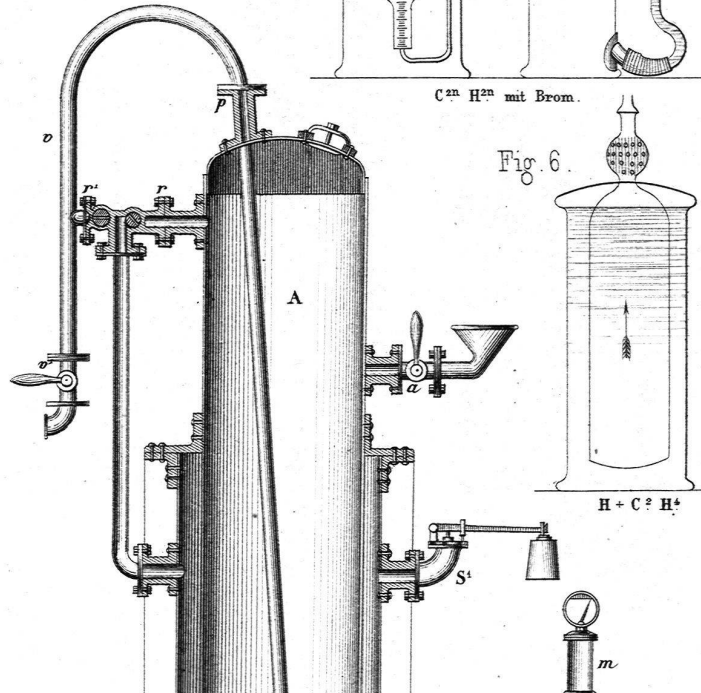
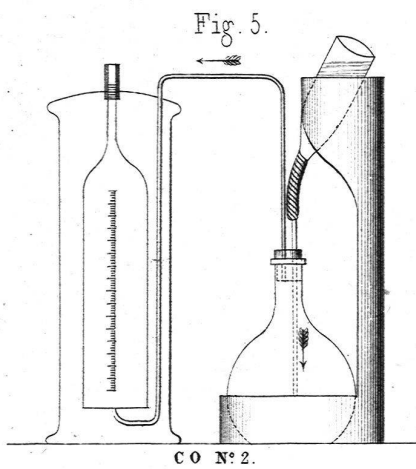
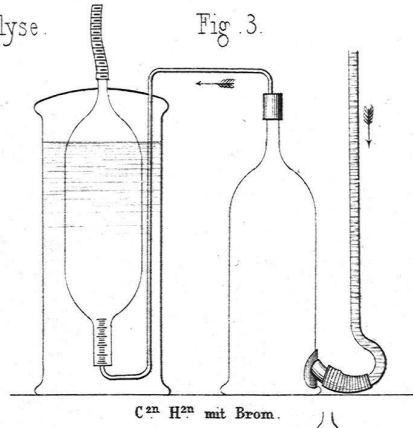
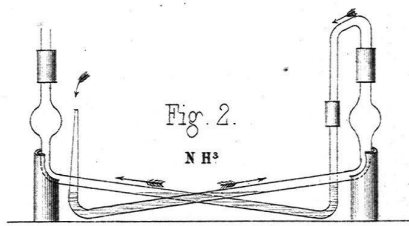
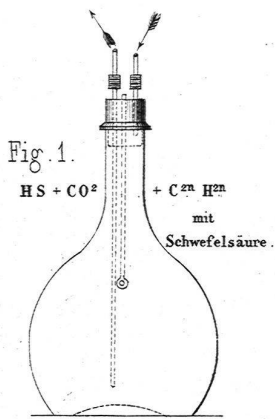


Fig. 17.

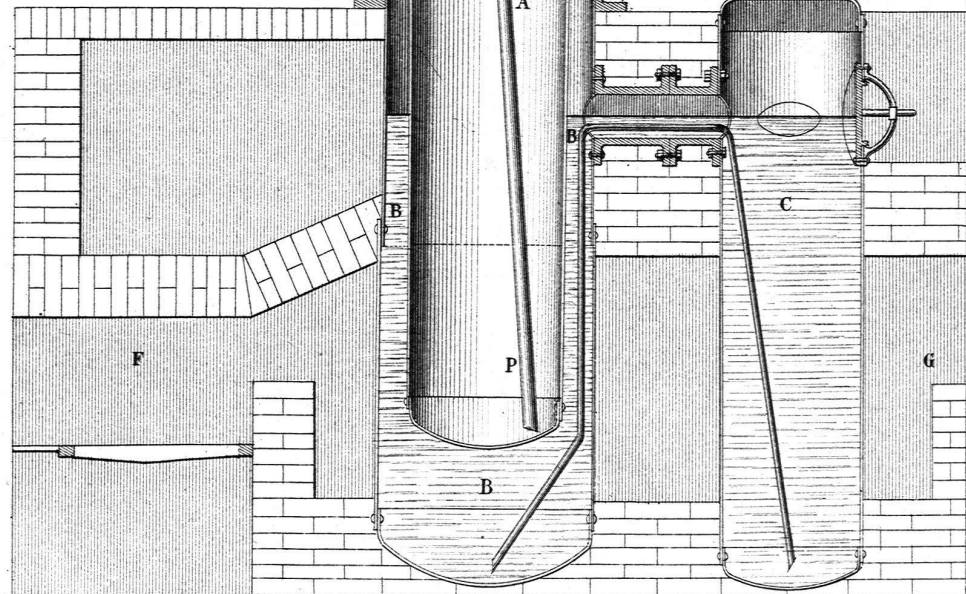
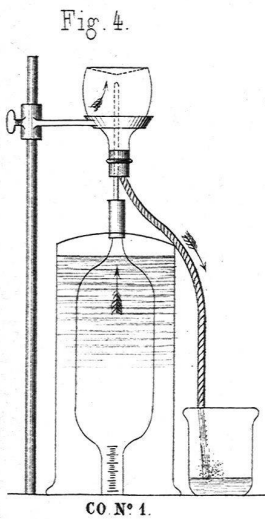


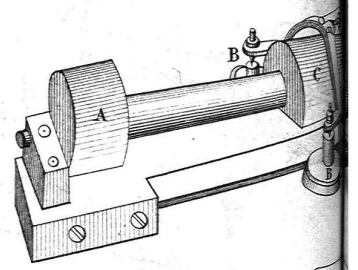
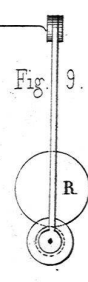
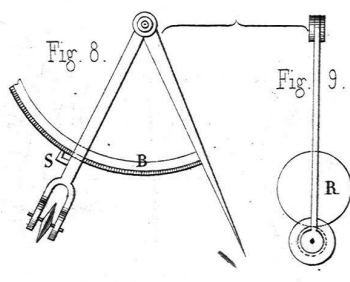
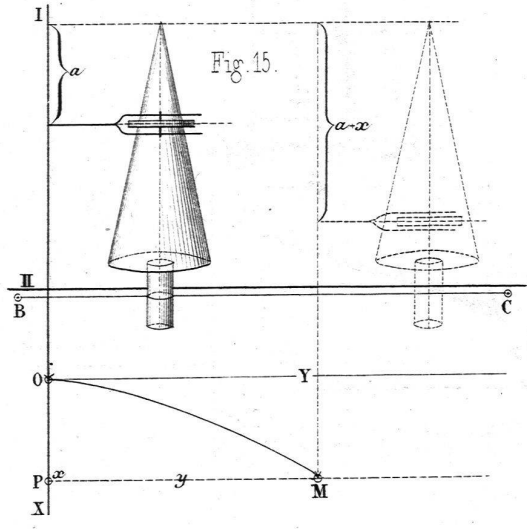
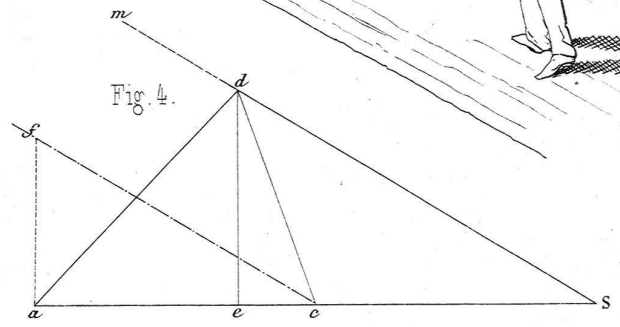
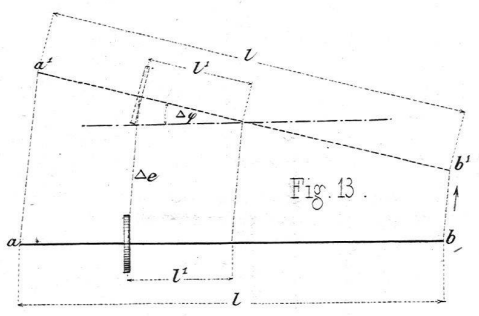
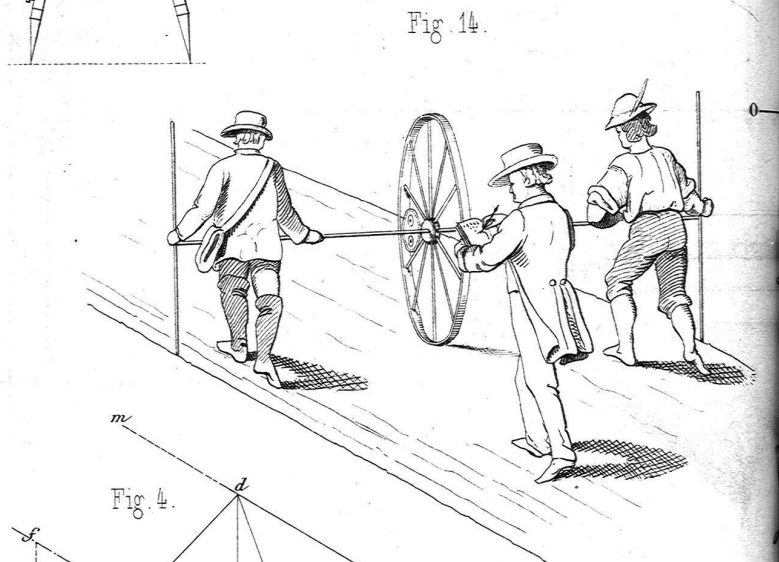
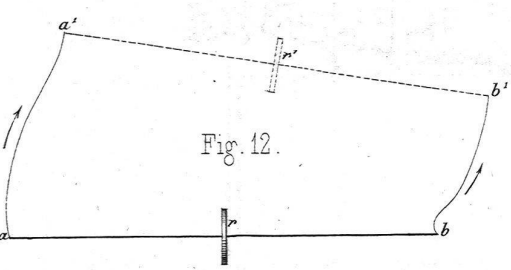
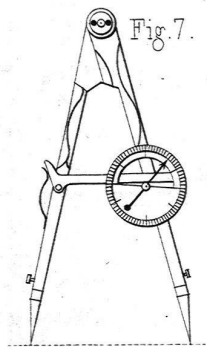
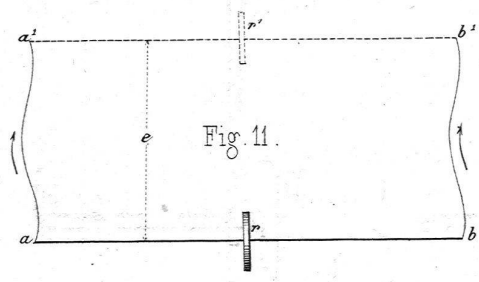
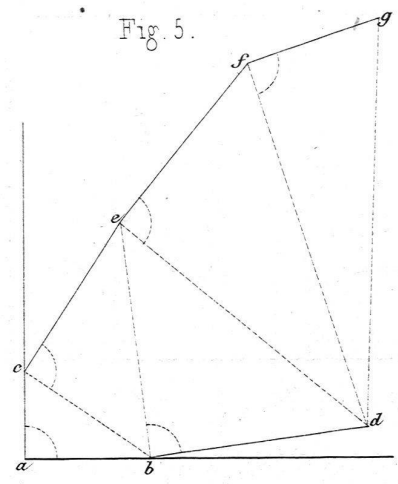
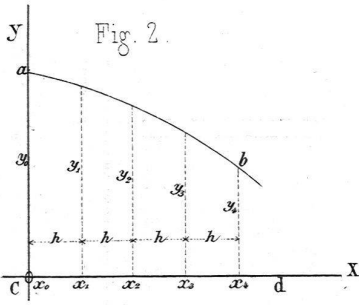
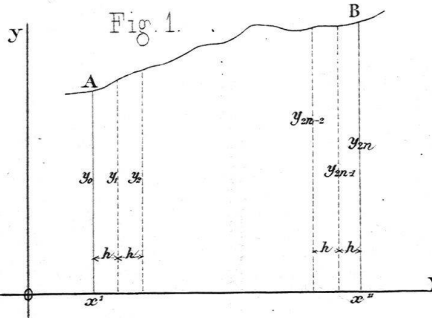


Richter. Apparate zur technischen Gasanalyse.



Droux. Apparat zur Stearinsäurefabrikation





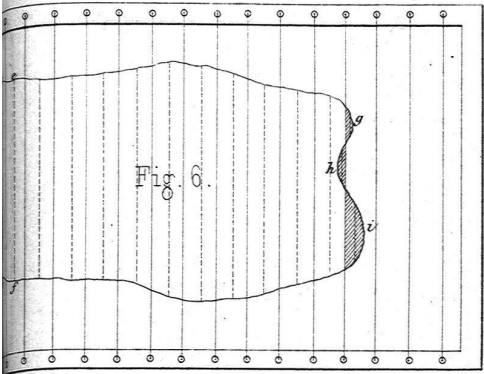


Fig. 6.

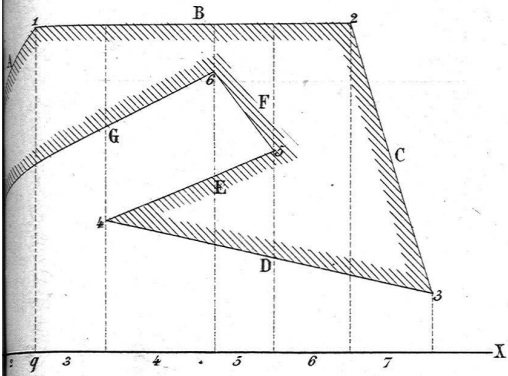


Fig. 19.

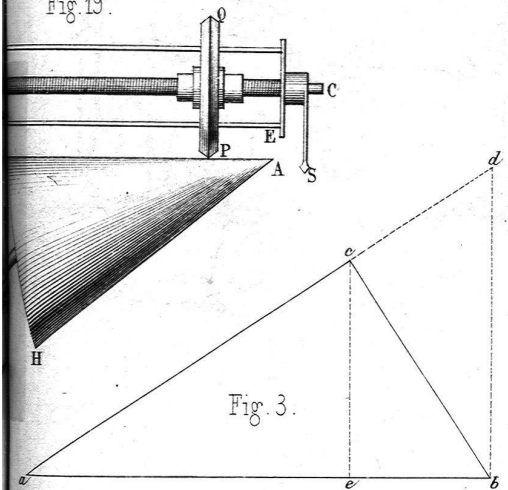


Fig. 3.

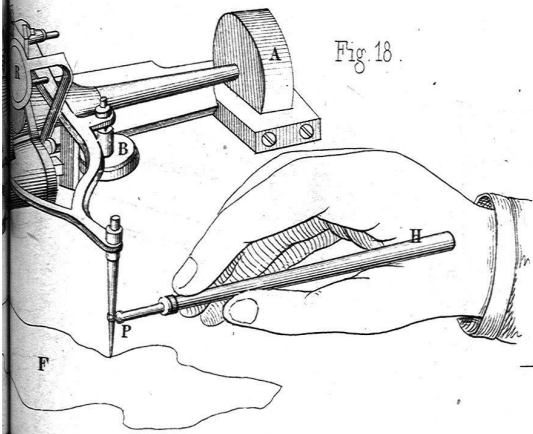


Fig. 18.

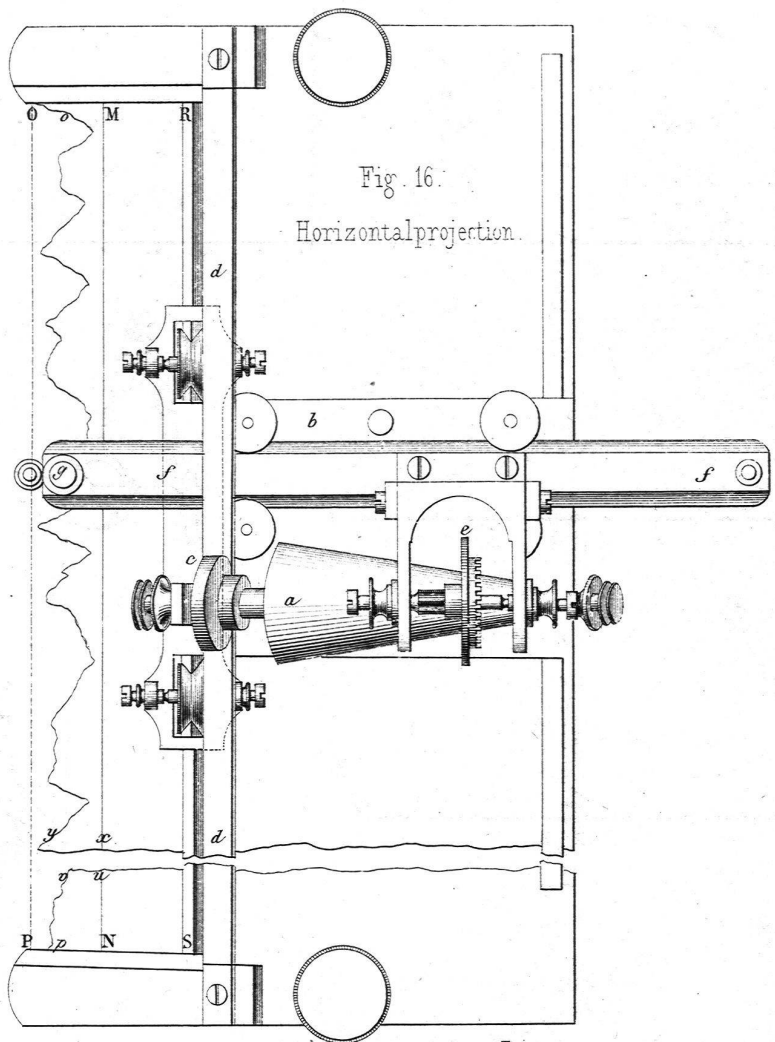


Fig. 16.  
Horizontalprojection.

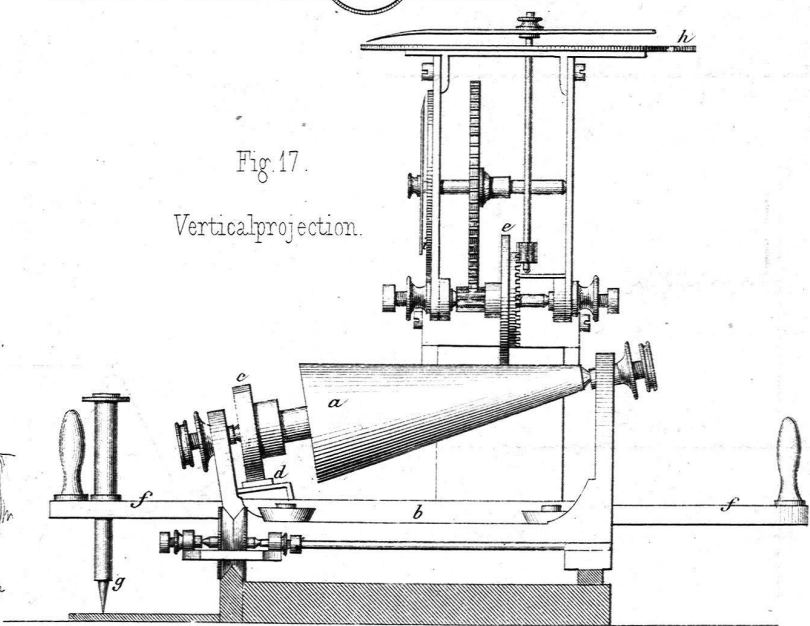


Fig. 17.  
Verticalprojection.

Maßstab zu Fig. 16 & 17.

0 5 10 15 Centimeter.

Control-Manometer für Dampfkesselprüfungen.

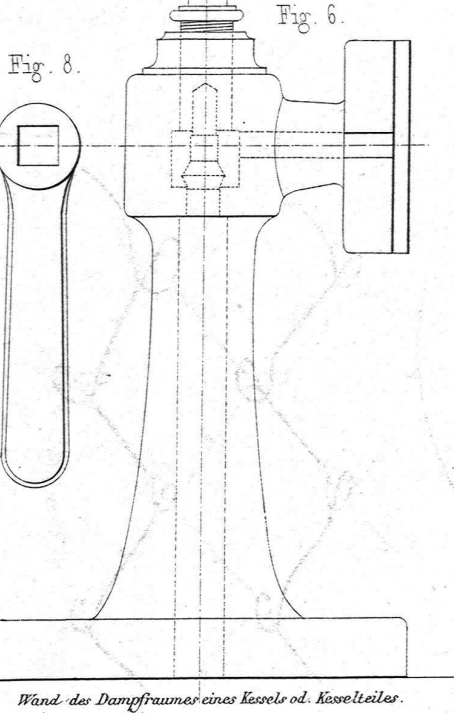
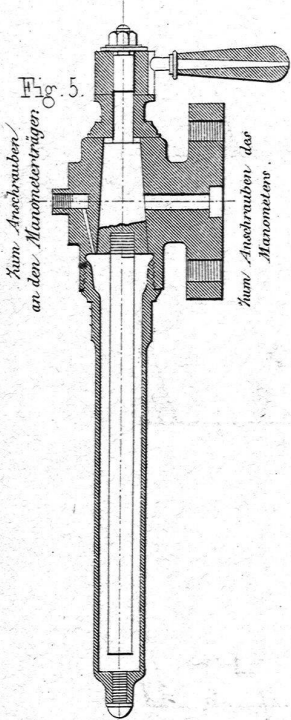


Fig. 7. Flantsche für das Manometer u. den Wasserhahn

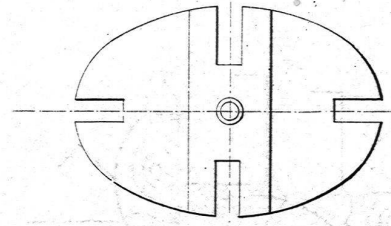
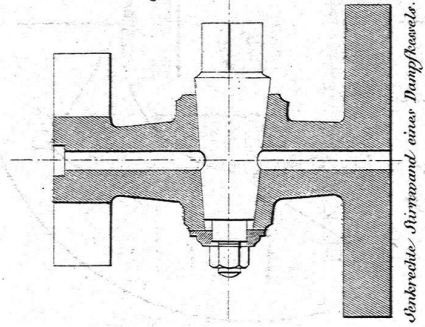
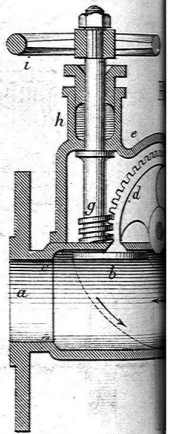
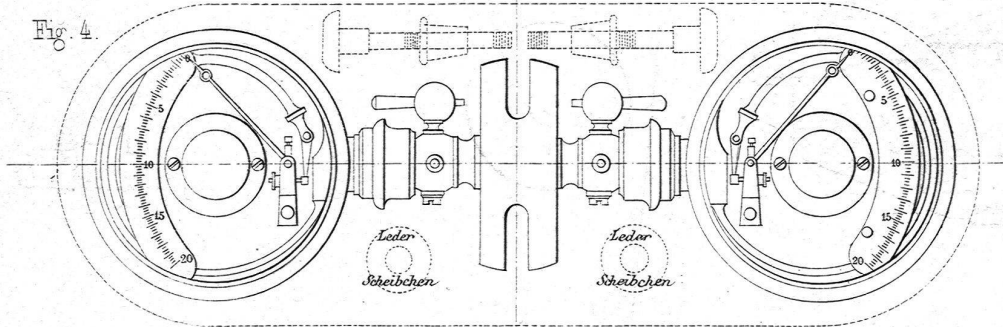


Fig. 9.

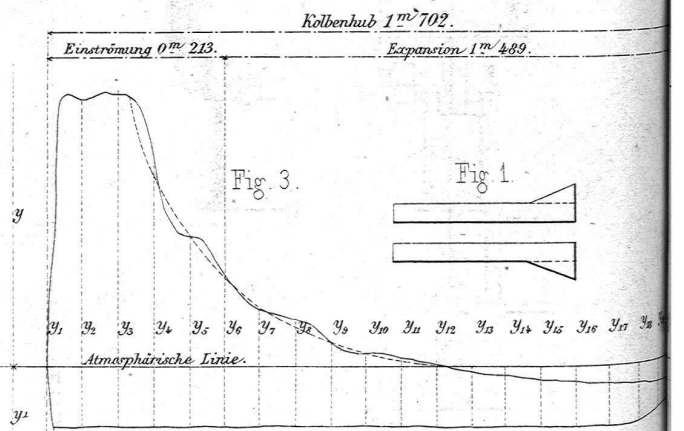
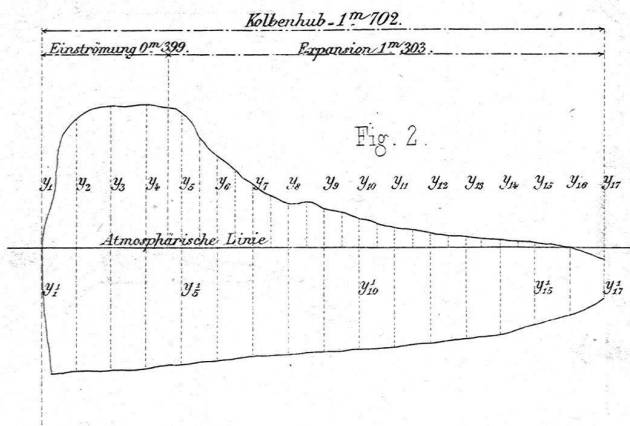


Warner's Scheiben

Fig. 4.

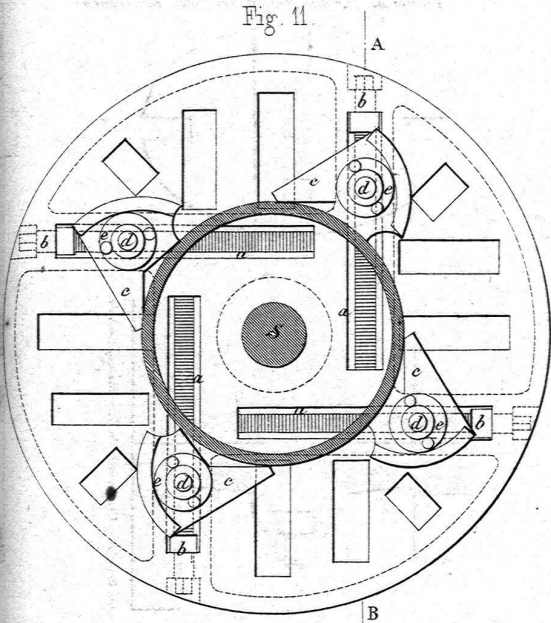


Versuche an einer mit überhitztem Dampf betriebenen Maschine.



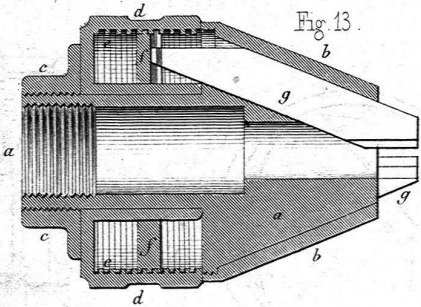
Degener's Universal-Planscheibe.

Fig. 11.



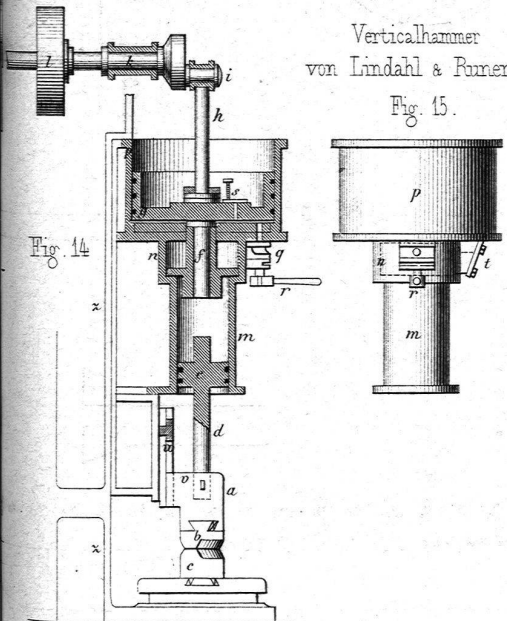
Drehbankfutter von Harris & Haight

Fig. 13.



Verticalhammer von Lindahl & Romer.

Fig. 15.



Jouannin's Maschine zur Herstellung von Netzen.

Fig. 17.

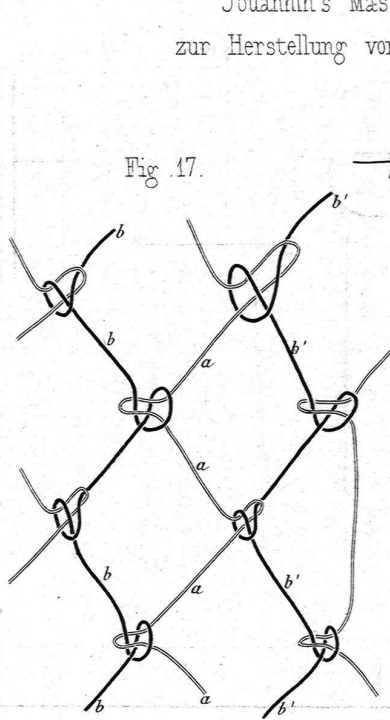


Fig. 18.

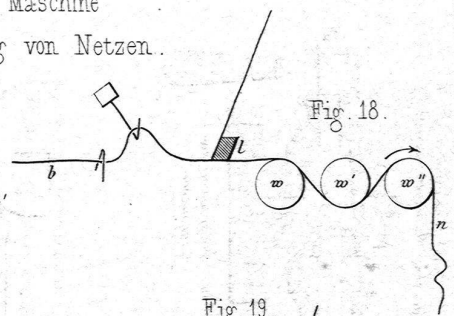


Fig. 19.

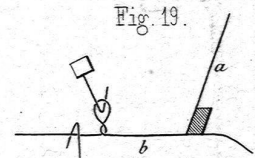
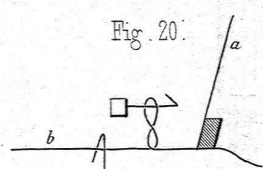


Fig. 20.



Verticalhammer von Shaw & Justice.

Fig. 16.

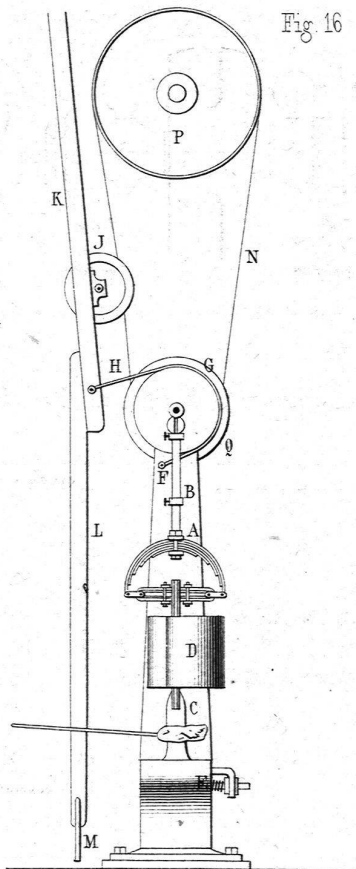


Fig. 21.

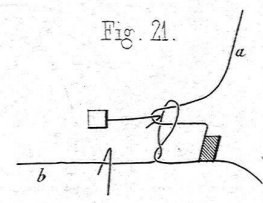


Fig. 22.

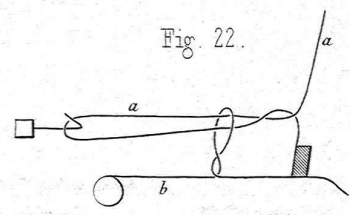
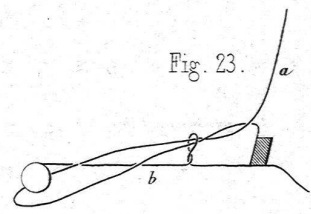
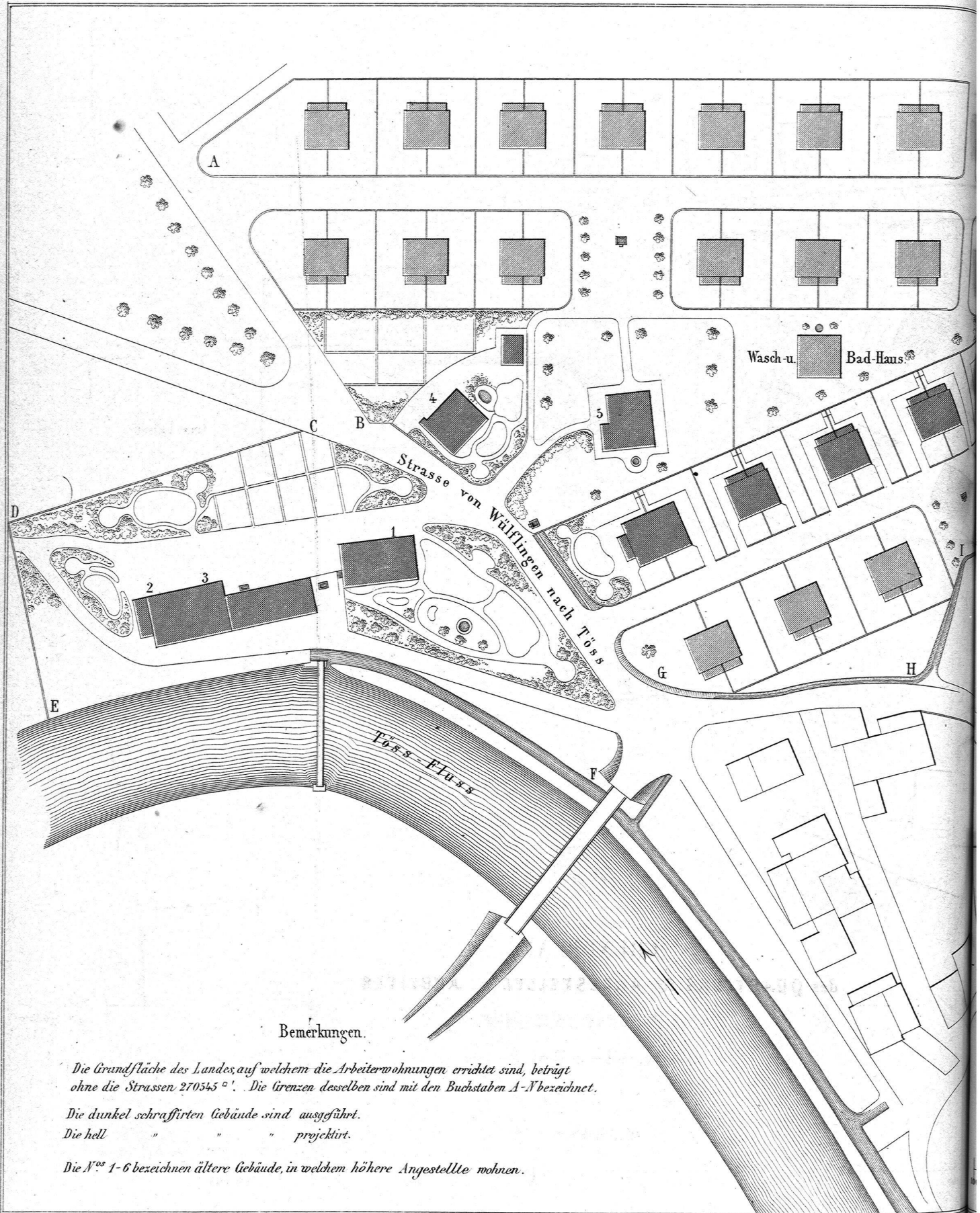


Fig. 23.





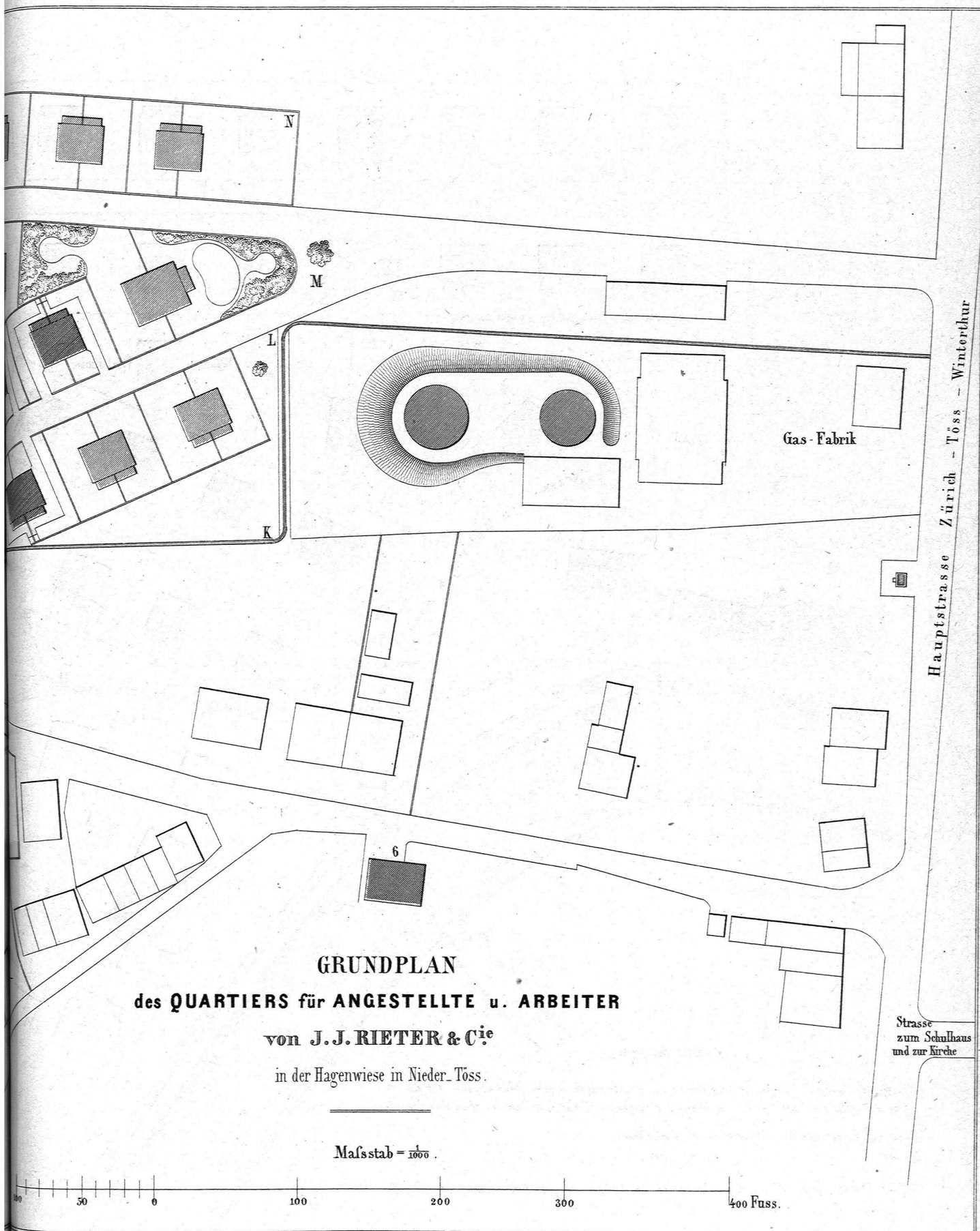
Bemerkungen.

Die Grundfläche des Landes, auf welchem die Arbeiterwohnungen errichtet sind, beträgt ohne die Strassen 270545  $\square'$ . Die Grenzen desselben sind mit den Buchstaben A-N bezeichnet.

Die dunkel schraffirten Gebäude sind ausgeführt.

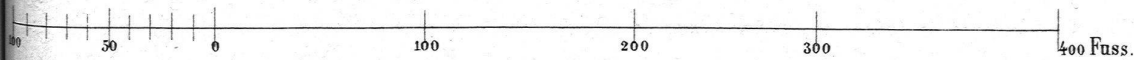
Die hell " " " " projektirt.

Die Nos 1-6 bezeichnen ältere Gebäude, in welchem höhere Angestellte wohnen.

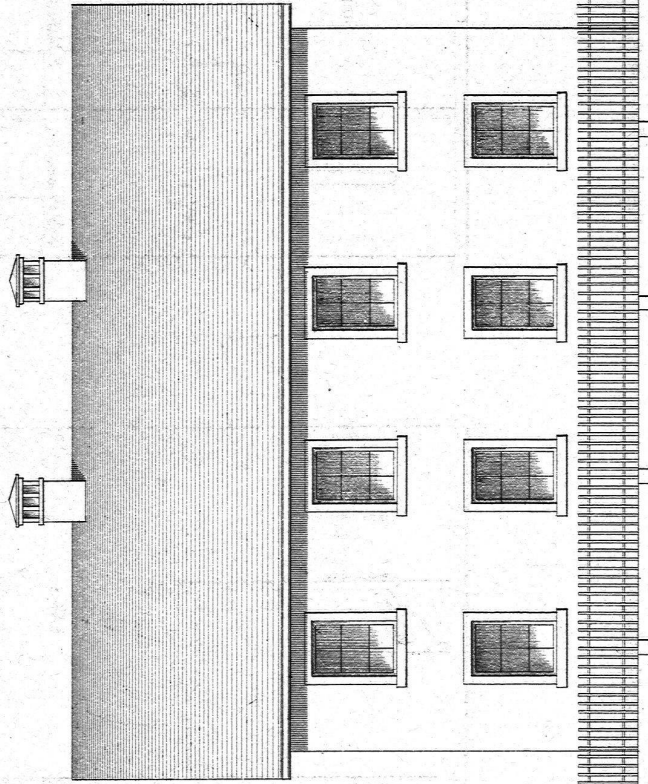


**GRUNDPLAN**  
**des QUARTIERS für ANGESTELLTE u. ARBEITER**  
**von J. J. RIETER & C<sup>ie</sup>**  
 in der Hagenwiese in Nieder-Töss.

Mafsstab =  $\frac{1}{1000}$ .



Vorder-Façade.



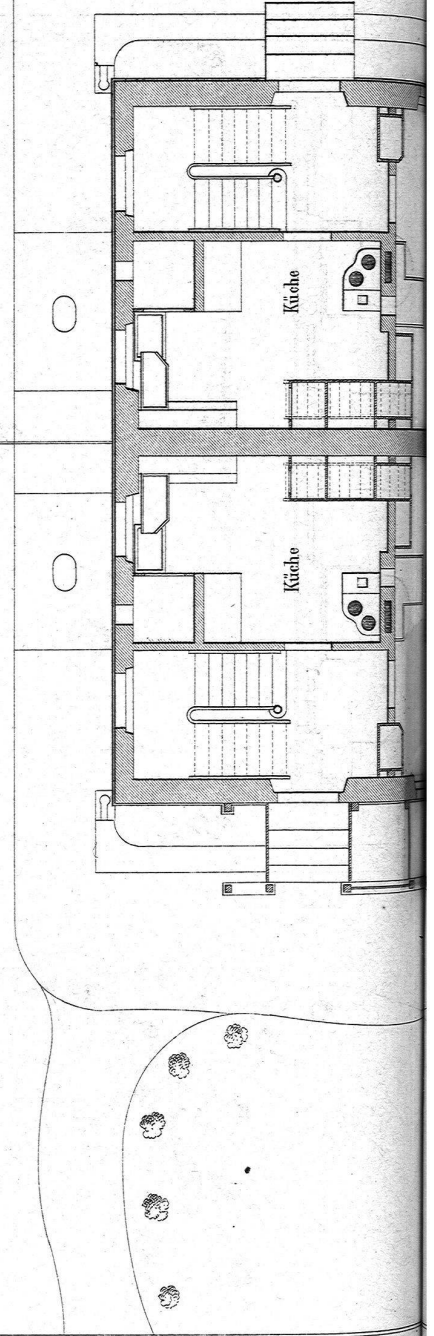
ARBEITER-WOHNUNGEN

von J.J. RIETTER & Comp  
in Nieder-Töss.

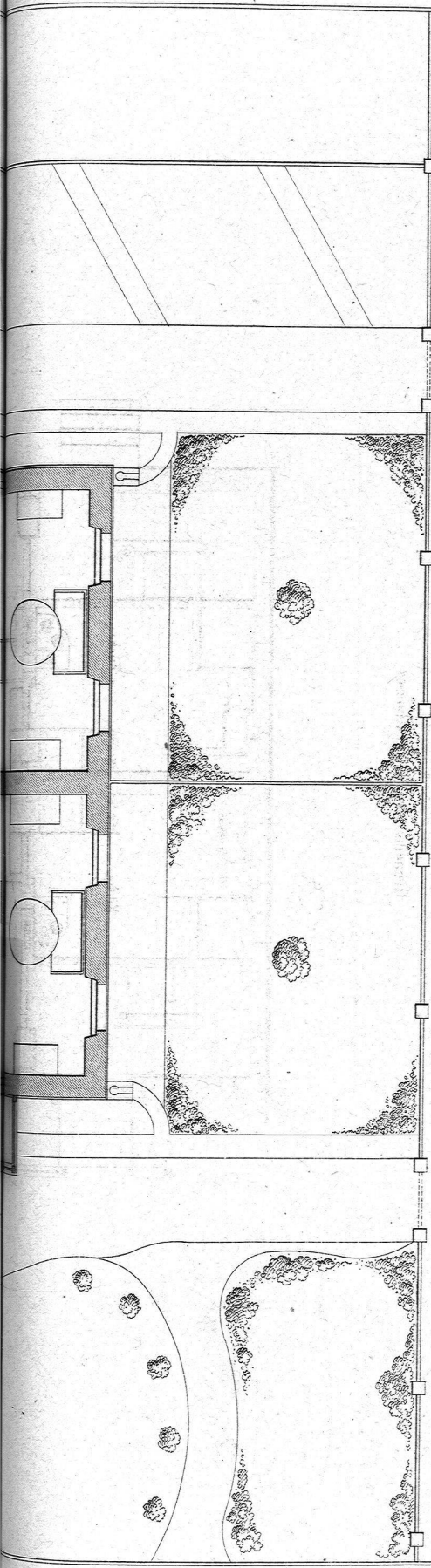
WOHN-HAUS

für zwei  
Aufseher-Familien.

Grundriss des Erdgeschosses.



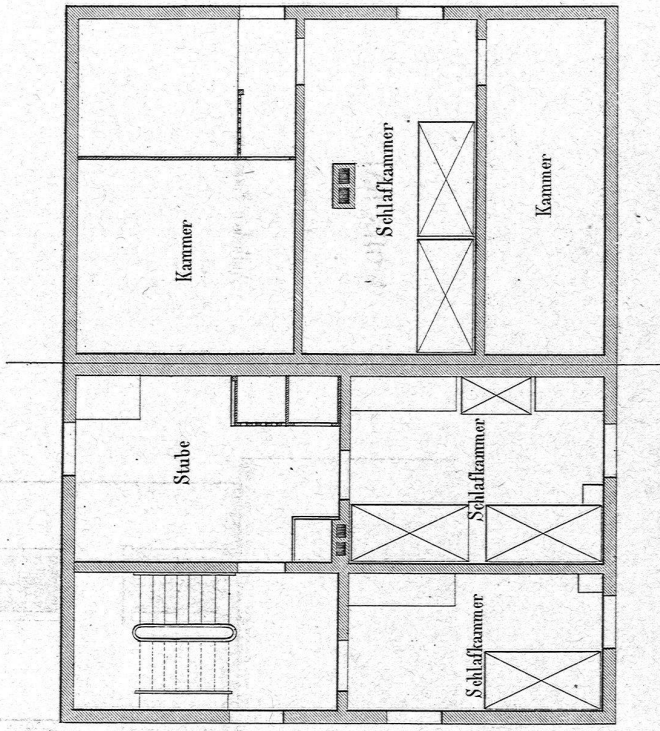
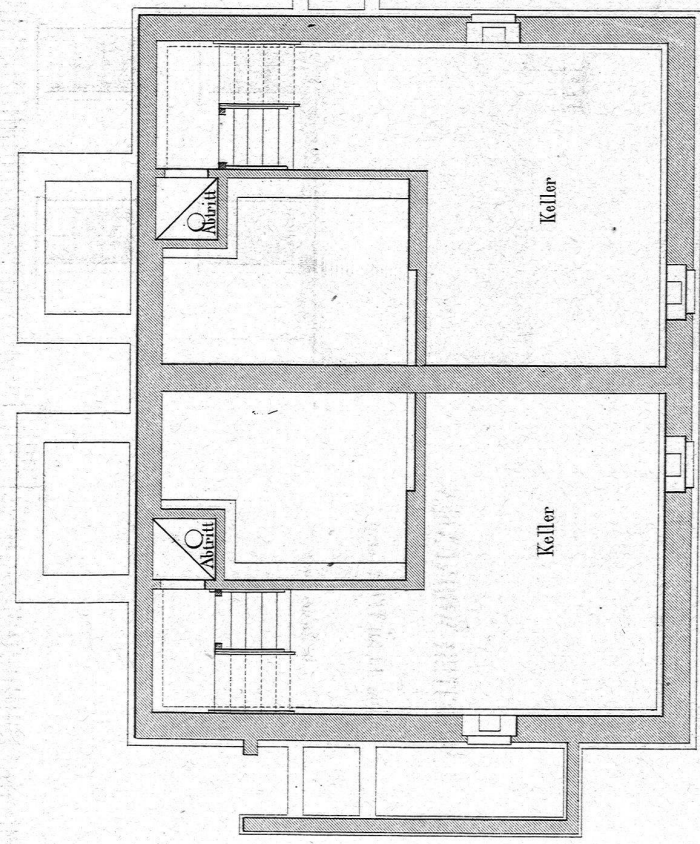




Grundriss des Erdgeschosses und Fundament.

Grundriss des ersten Stockes.

Grundriss des Dachbodens.



Masstab 1/20.



# ARBEITER-WOHNUNGEN

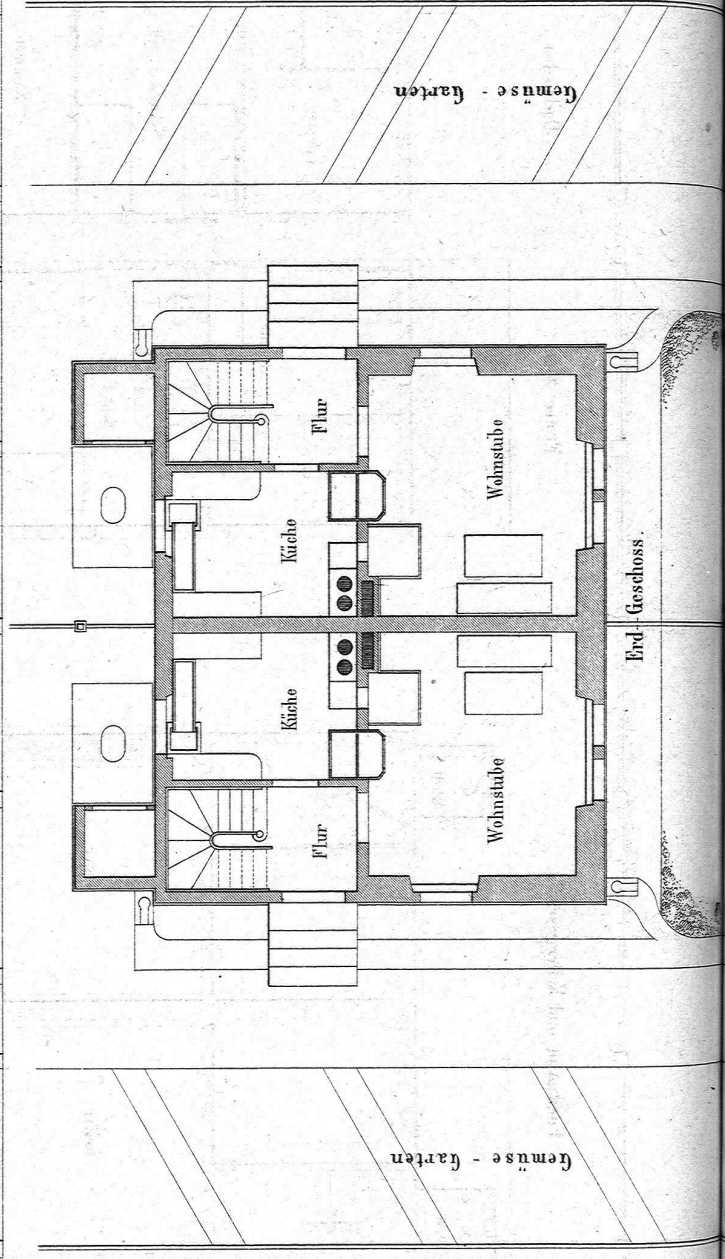
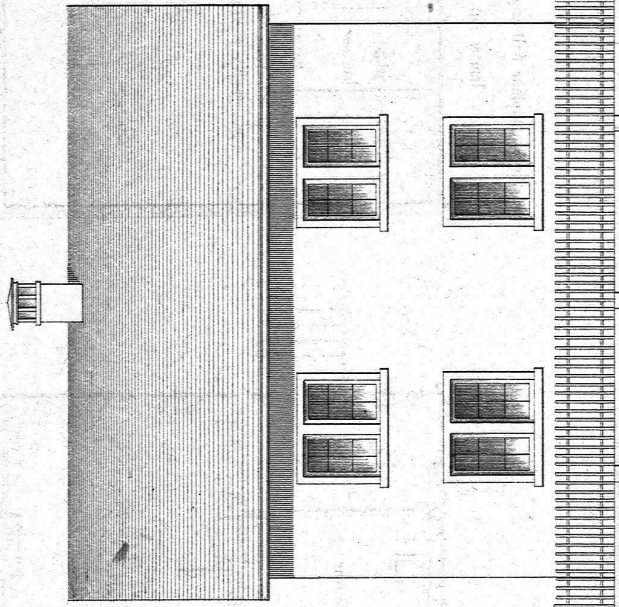
von J.J. RIETTER & Comp.

in Nieder-Loos.

# WOHN-HAUS

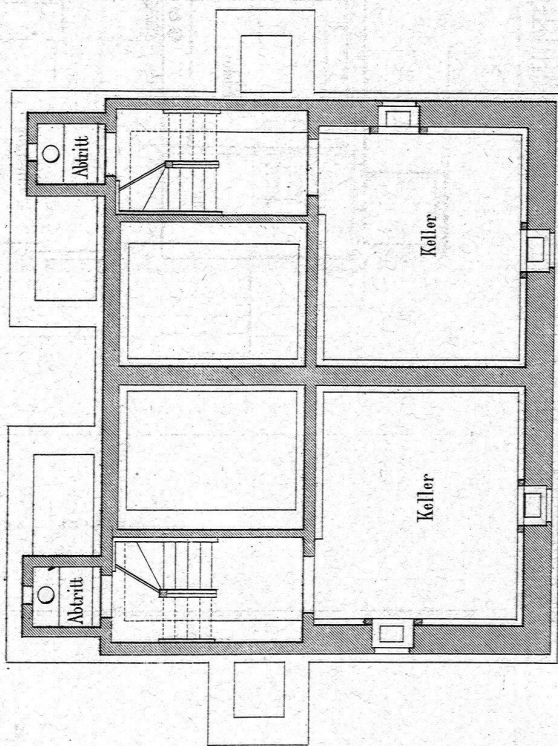
für

zwei Arbeiter-Familien.

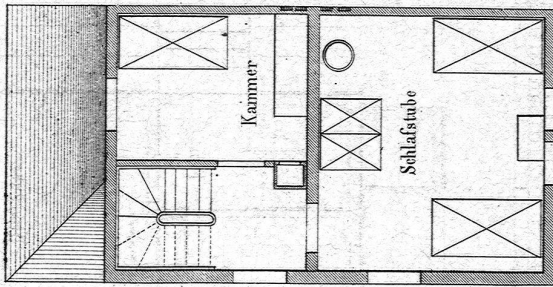


Maßstab 1/20.

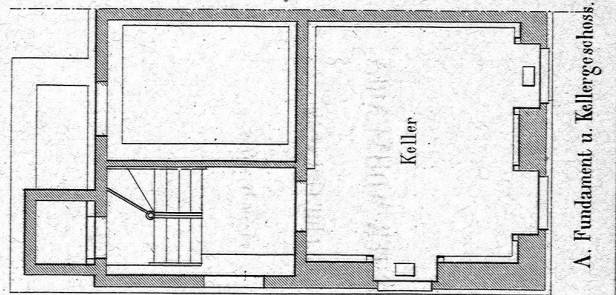
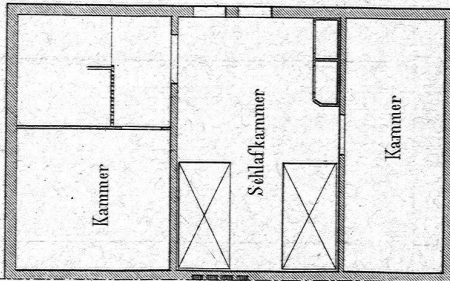
Fundament und Kellergeschoss.



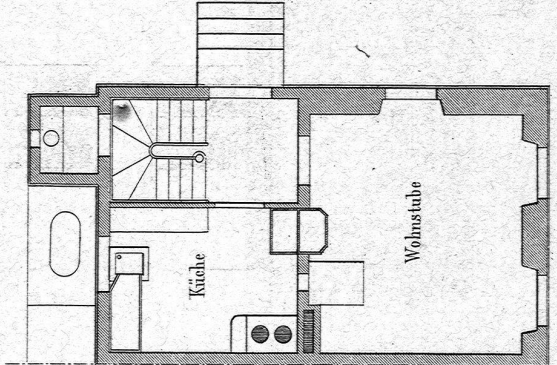
Erster Stock.



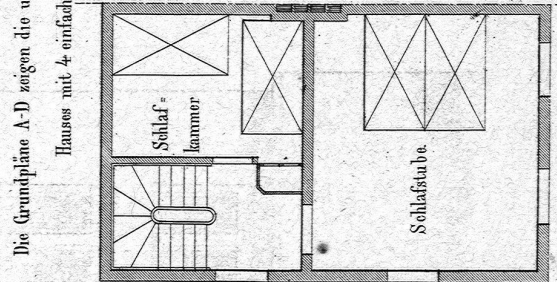
Dachboden.



A. Fundament u. Kellergeschoss.

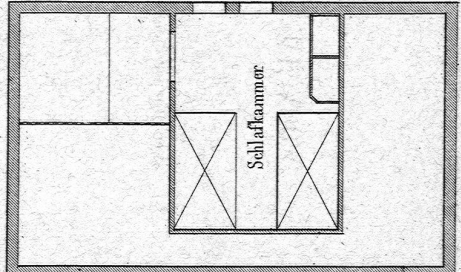


B. Erdgeschoss.



C. Erster Stock.

Die Grundpläne A-D zeigen die ursprüngliche Anlage des obigen Hauses mit 4 einfachen Fenstern in der Fassade.



D. Dachboden.

Fig. 14.

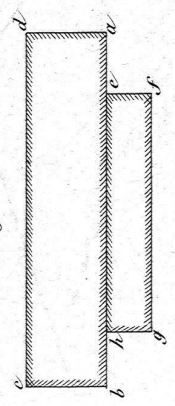


Fig. 2.



Fig. 13.

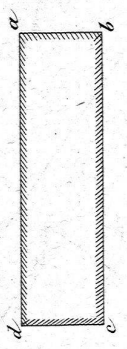
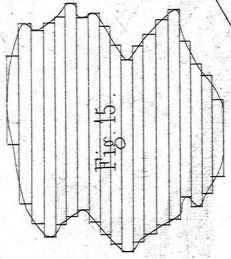
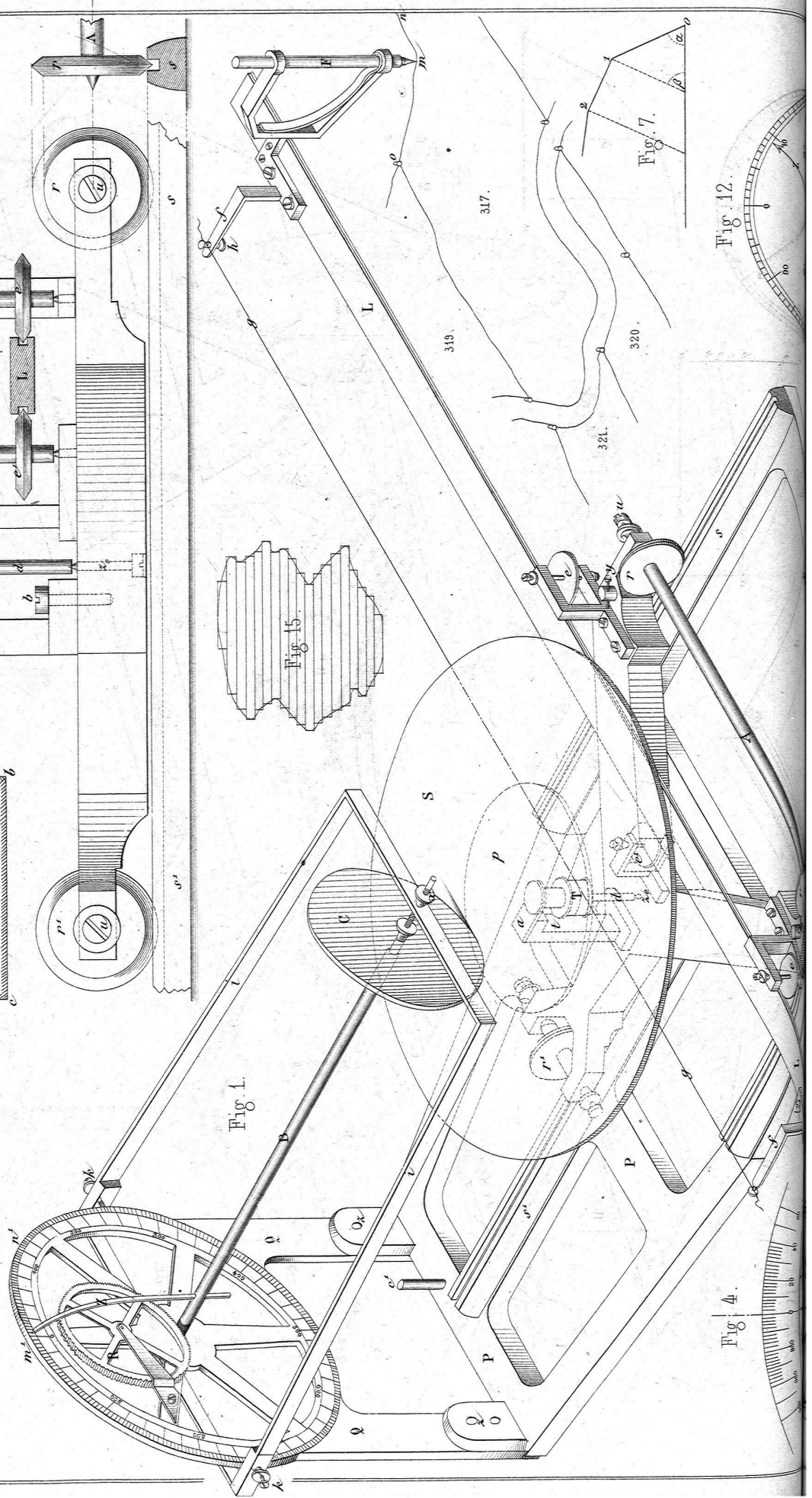


Fig. 1.



317.

319.

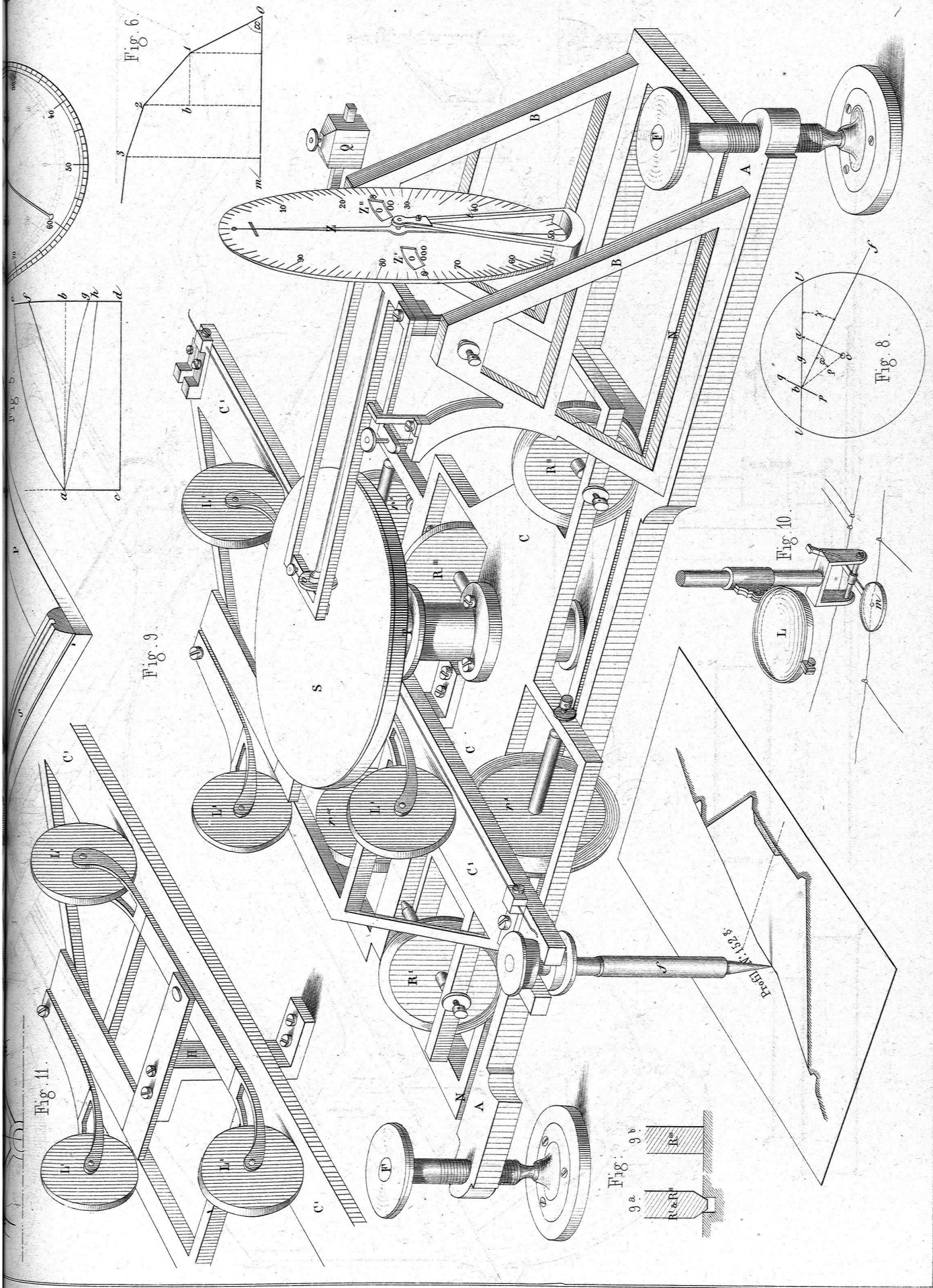
320.

321.

Fig. 7.

Fig. 4.

Fig. 12.



Neuilles' drehbarer Parallelschraubstock.

1/5

Goldschmid's Spindel

Fig. 16.

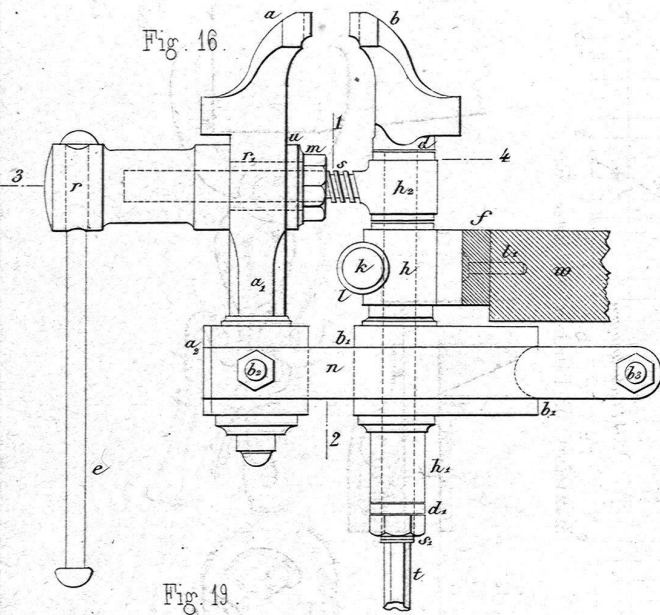


Fig. 18.

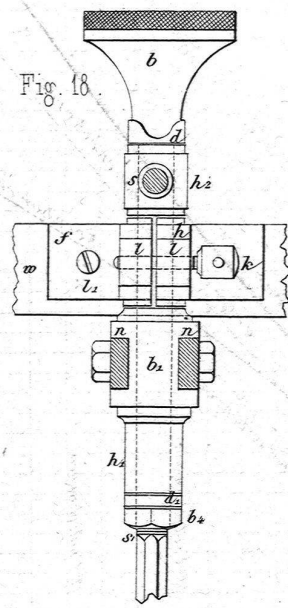


Fig. 32.

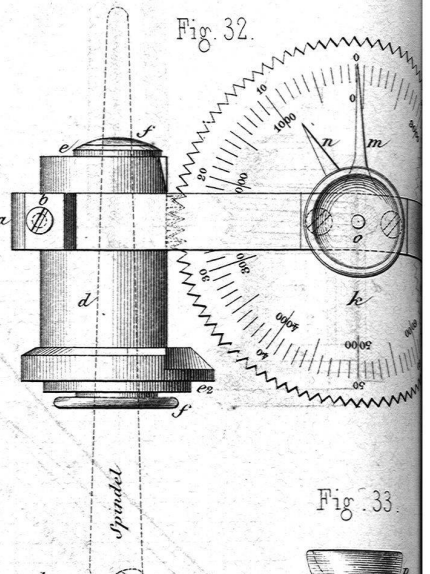


Fig. 19.

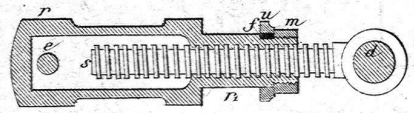


Fig. 17.

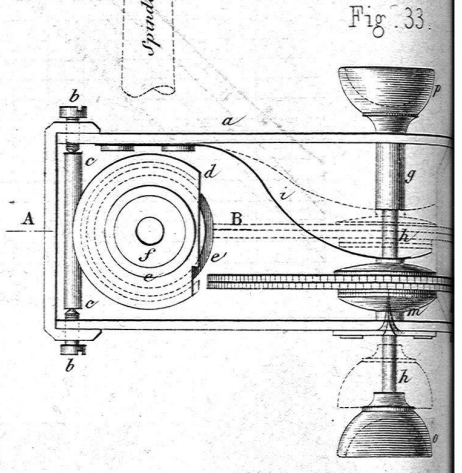
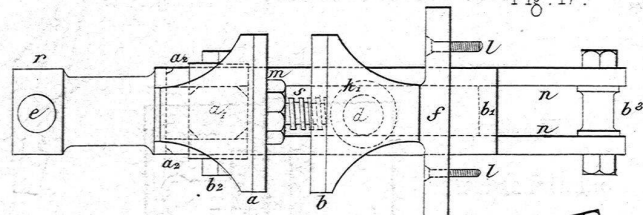
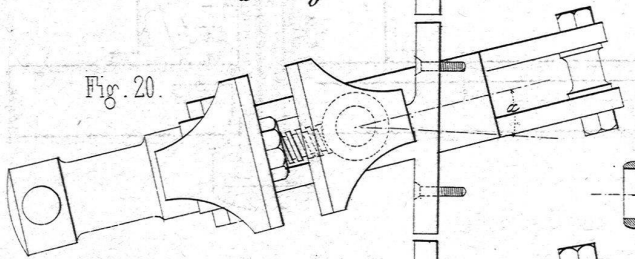
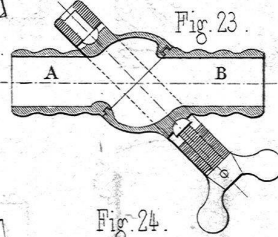


Fig. 33.

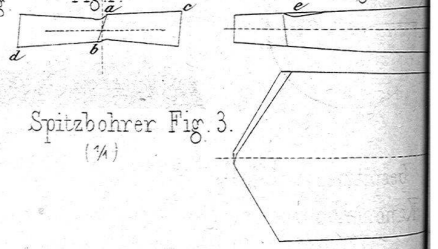
Fig. 20.



Universal-Rohr u. Schlauch-Kuppelung



Heim: Das Bohren in Schmiedeseisen Fig. 1. Fig. 2.



Spitzbohrer Fig. 3. (1/4)

Fig. 21.

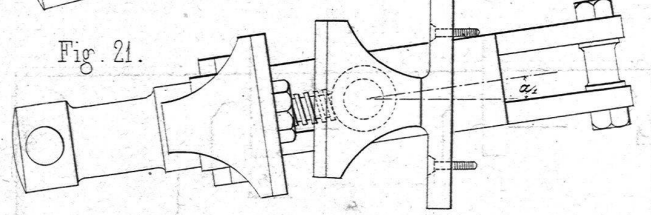


Fig. 24.

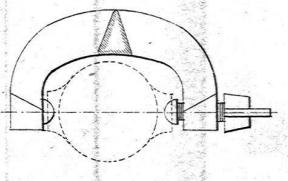


Fig. 4.

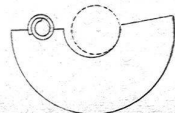


Fig. 22.

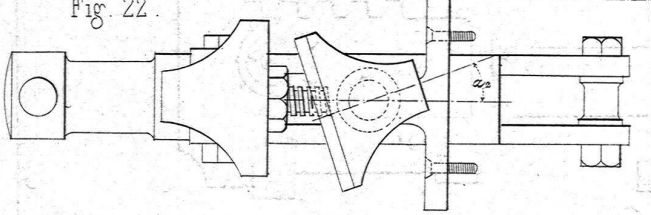
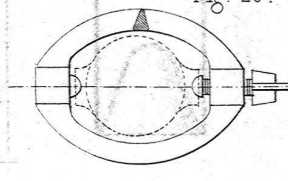


Fig. 25.



Kernbohrer (1/4)

Fig. 6.

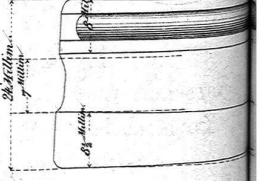
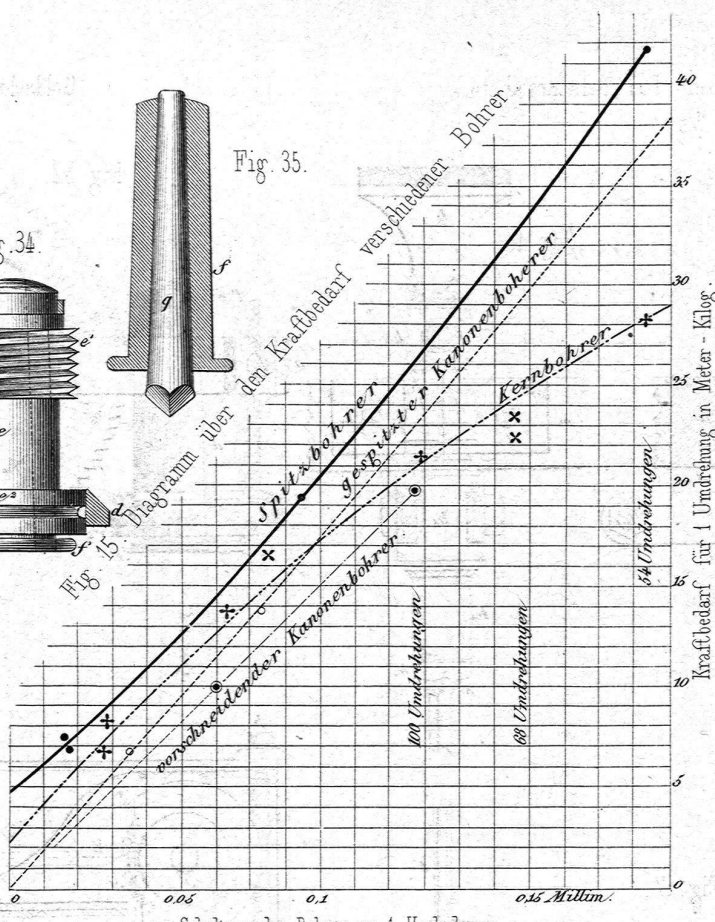
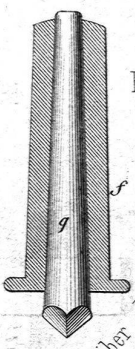
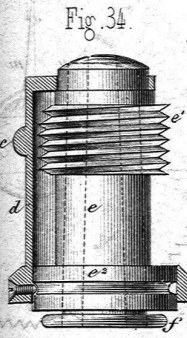


Fig. 5.

Zähler

Flaschenzug mit Zangen



Schaltung der Bohrer pro 1 Umdrehung

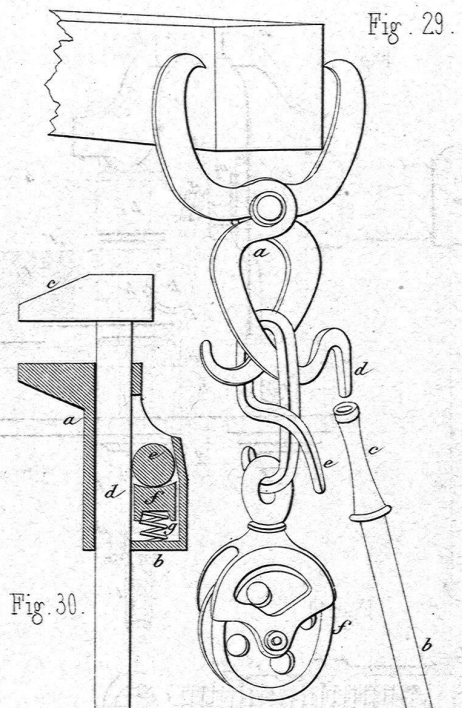
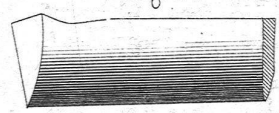
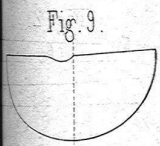
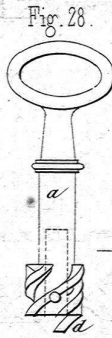
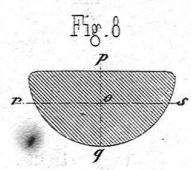
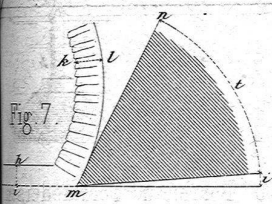
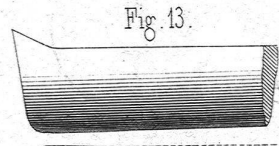
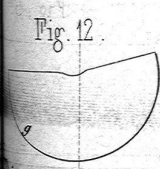
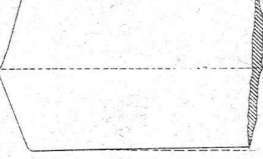


Fig. 30.

Univ. Schraubenschlüssel.



Gespitzter Kanonenbohrer (1/4)



Vorschneidender Kanonenbohrer (1/4)

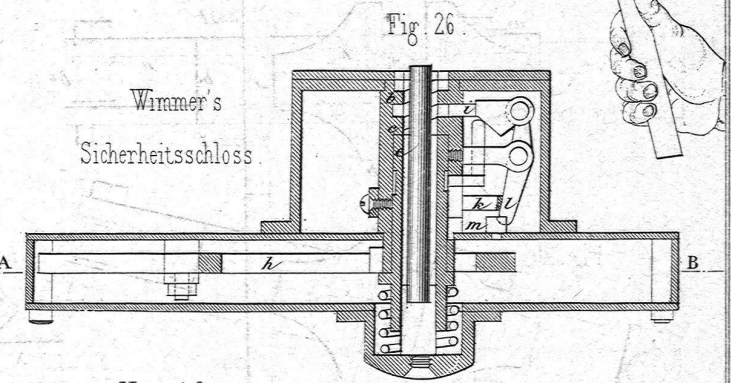
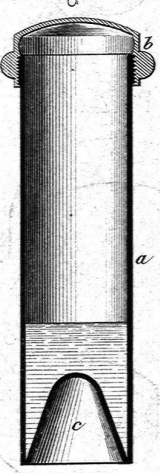
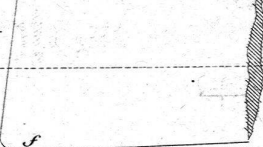


Fig. 31. Instrument zum Vorzeichnen der Nietlöcher

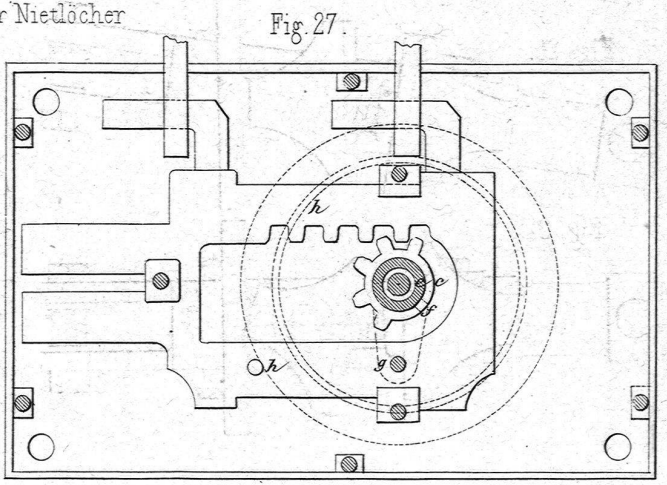


Fig. 1.

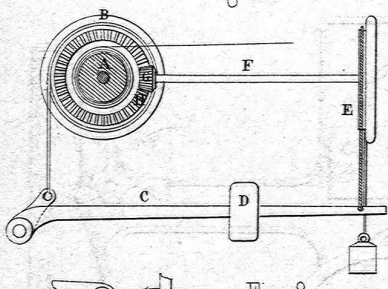


Fig. 2.

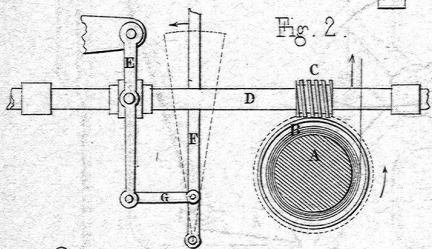


Fig. 6.

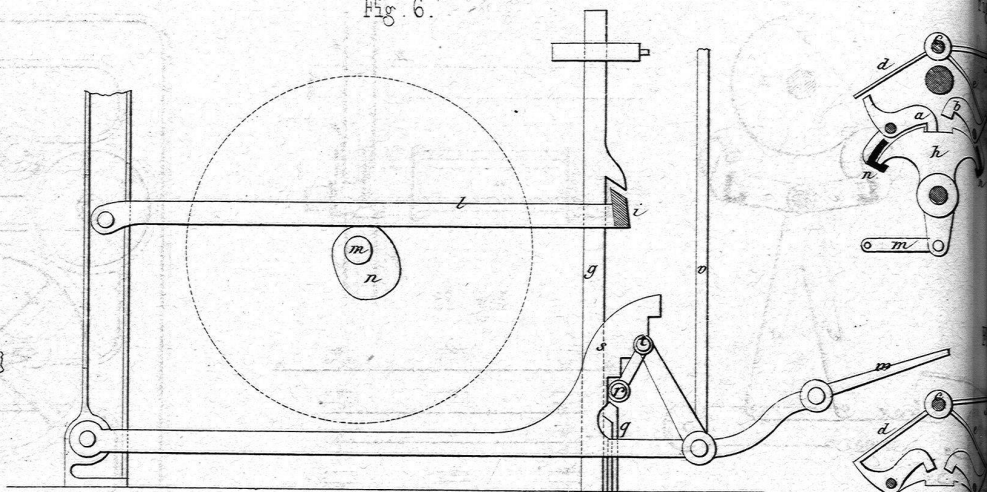


Fig. 10.

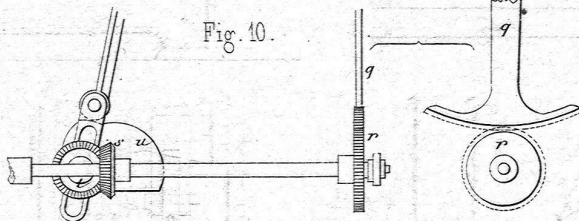


Fig. 21.

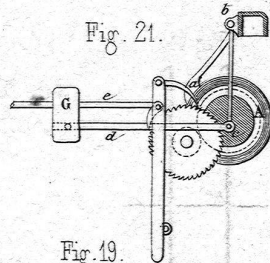


Fig. 4.

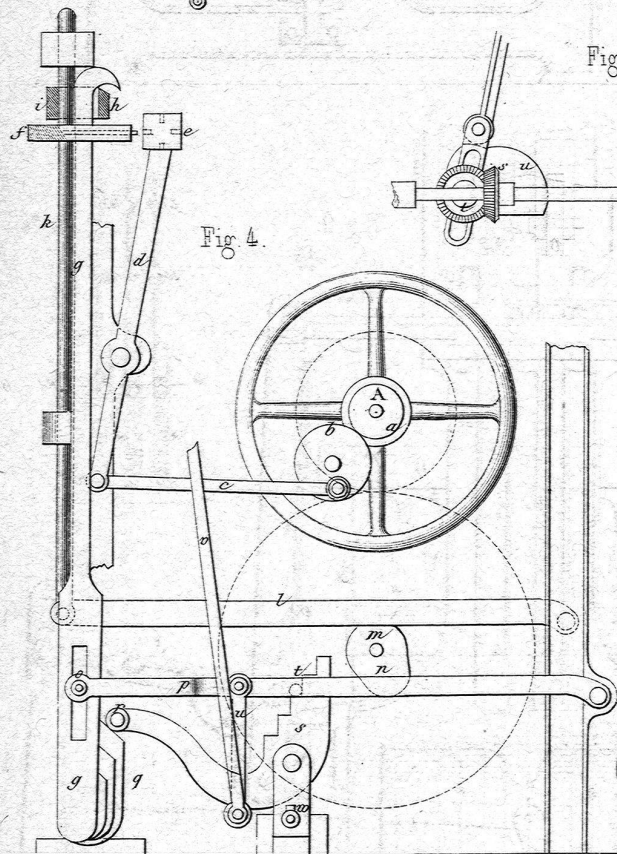


Fig. 18.

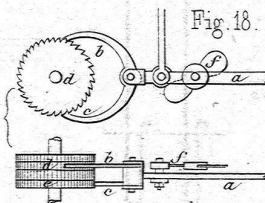


Fig. 19.

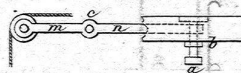


Fig. 20.

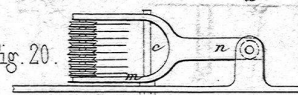


Fig. 5.

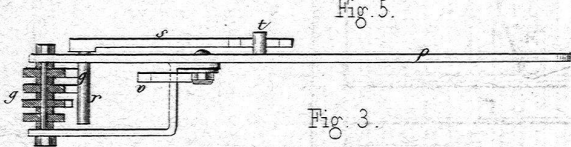


Fig. 3.

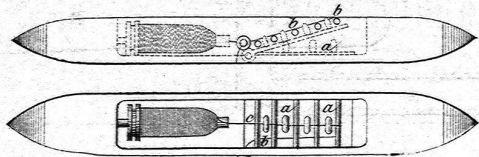


Fig. 22.

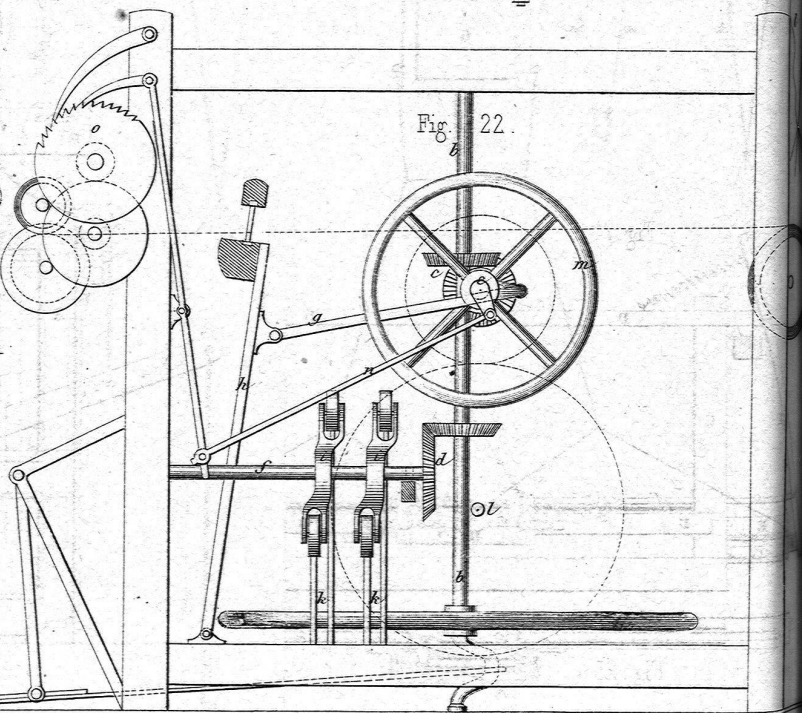




Fig. 8.

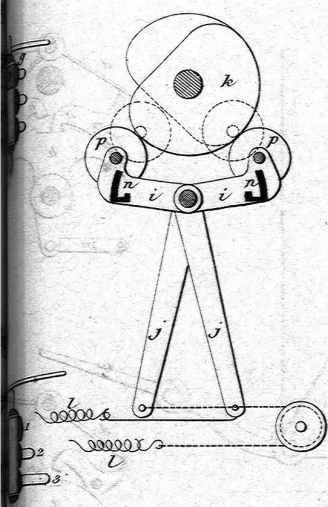


Fig. 8<sup>a</sup>.

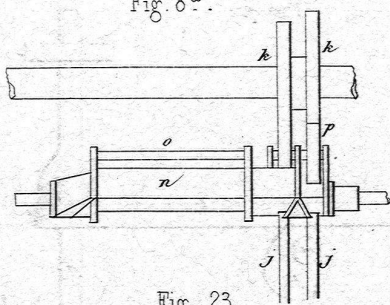


Fig. 17.

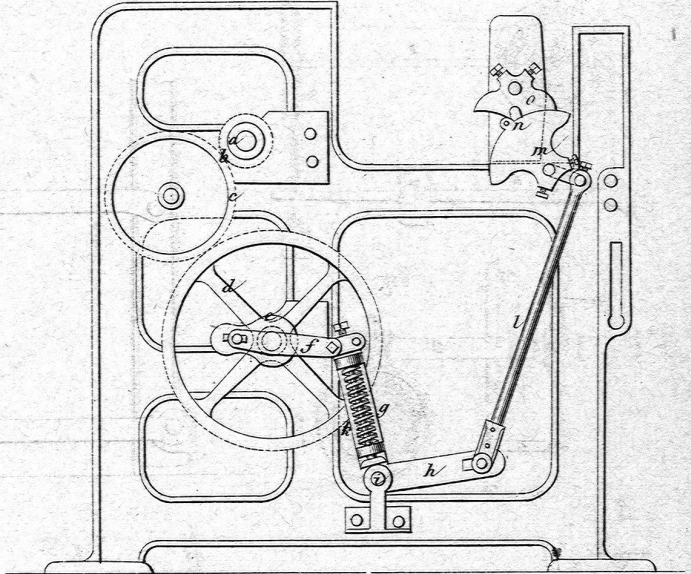


Fig. 23.

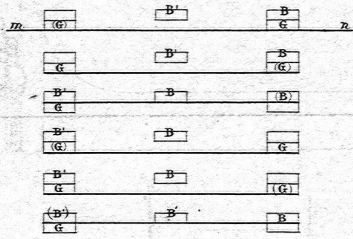


Fig. 13.

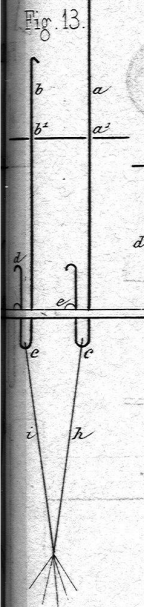


Fig. 14.

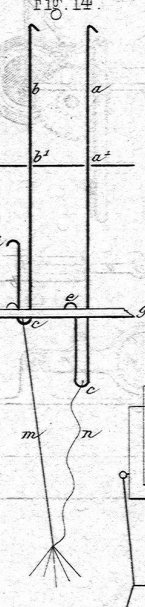


Fig. 26.

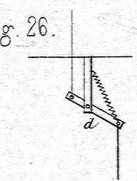


Fig. 15.

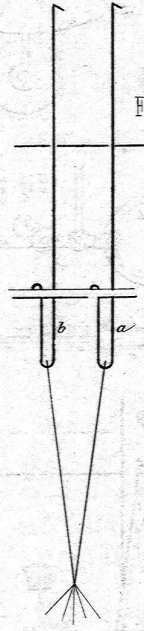


Fig. 27.

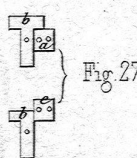


Fig. 11.

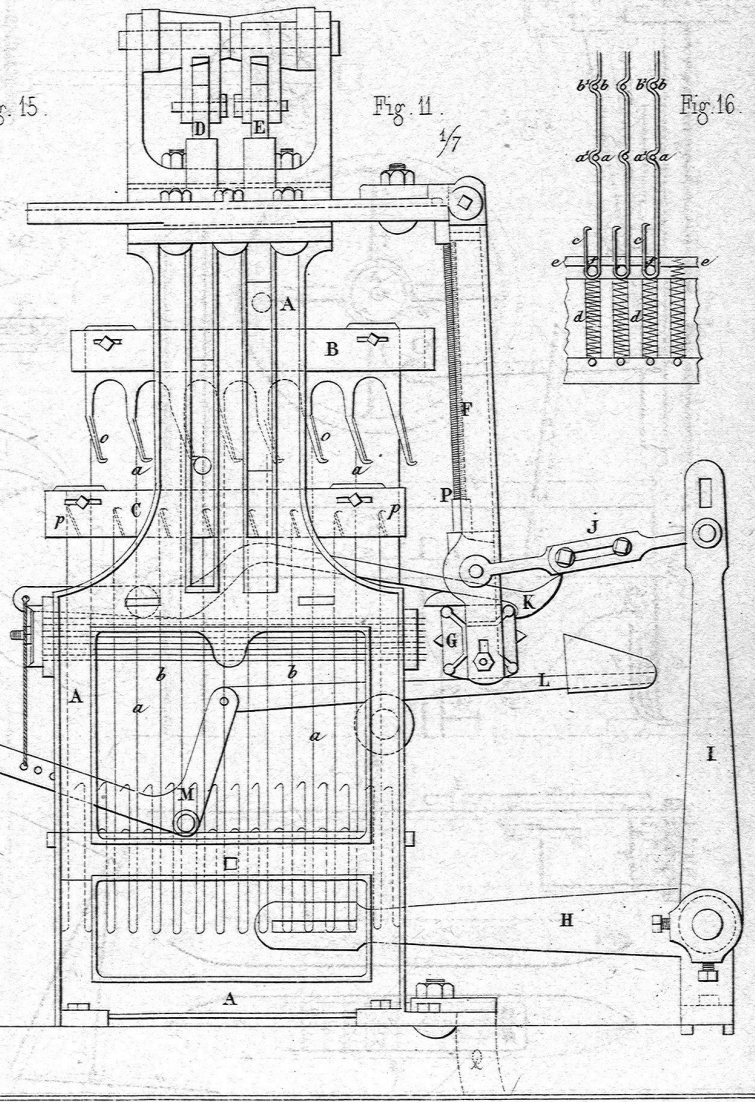


Fig. 16.

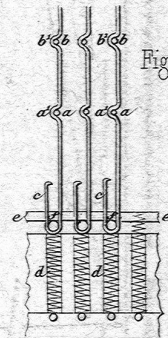


Fig. 24.

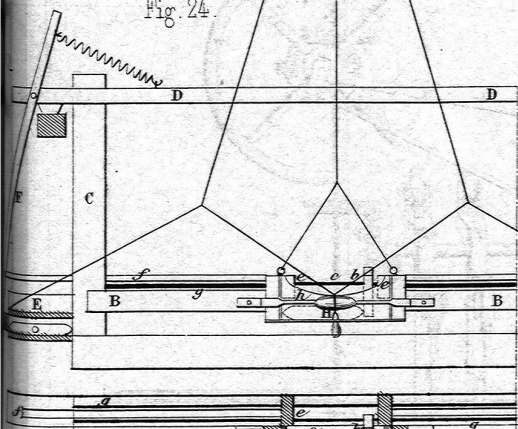
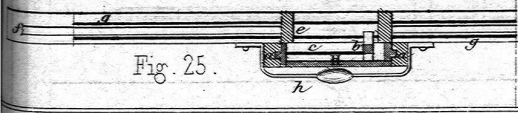
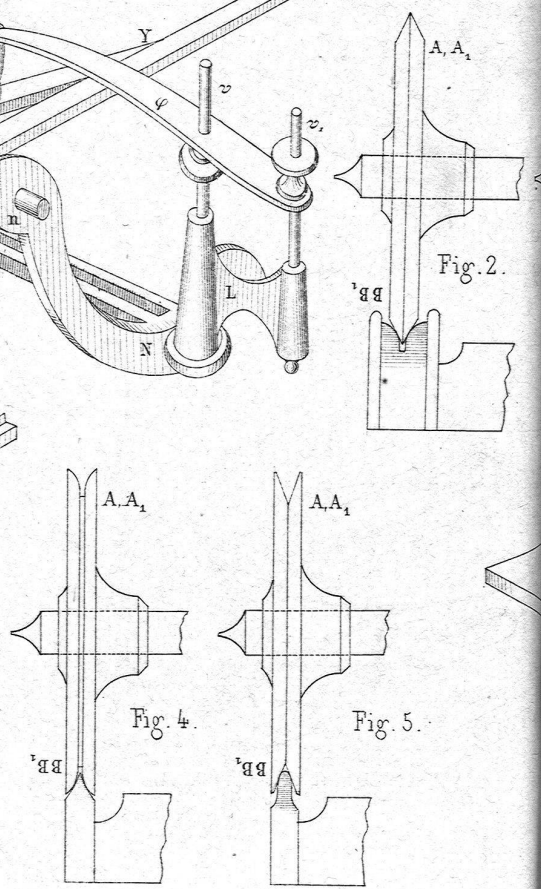
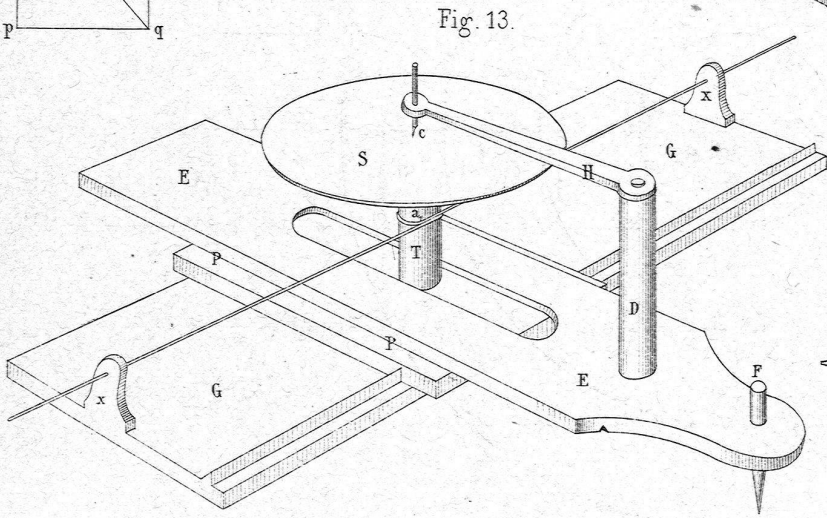
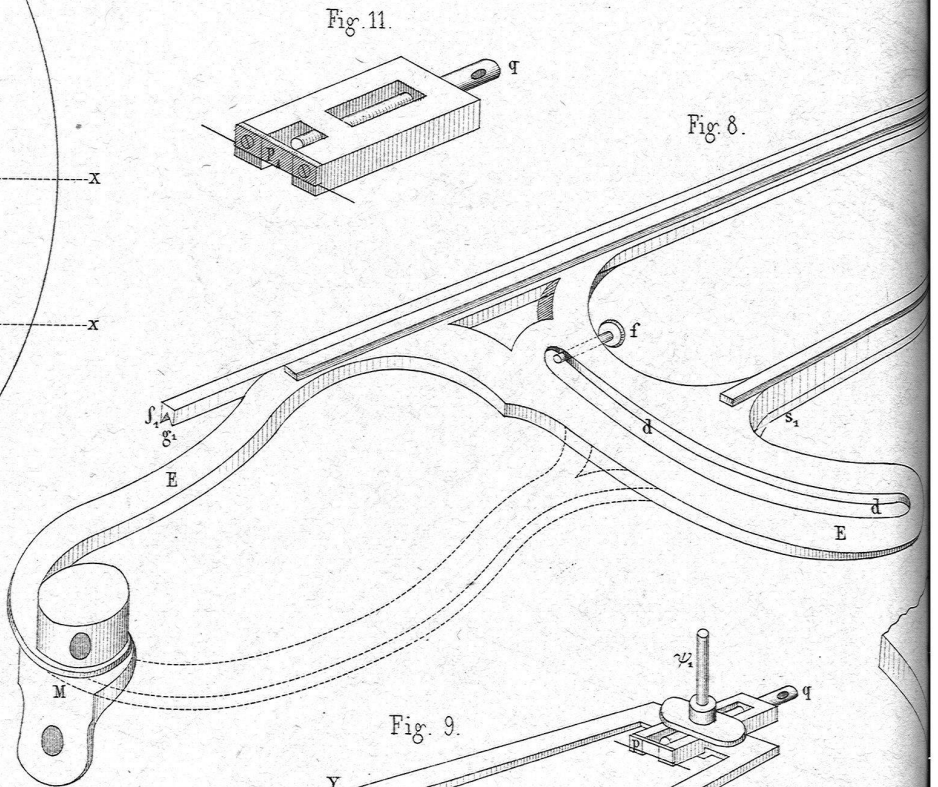
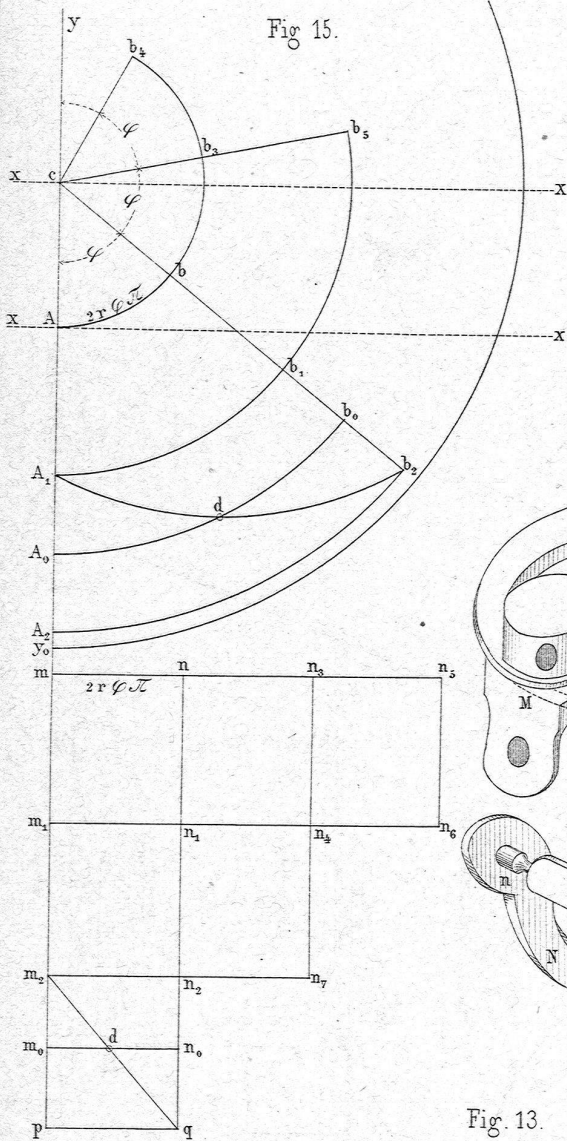


Fig. 25.





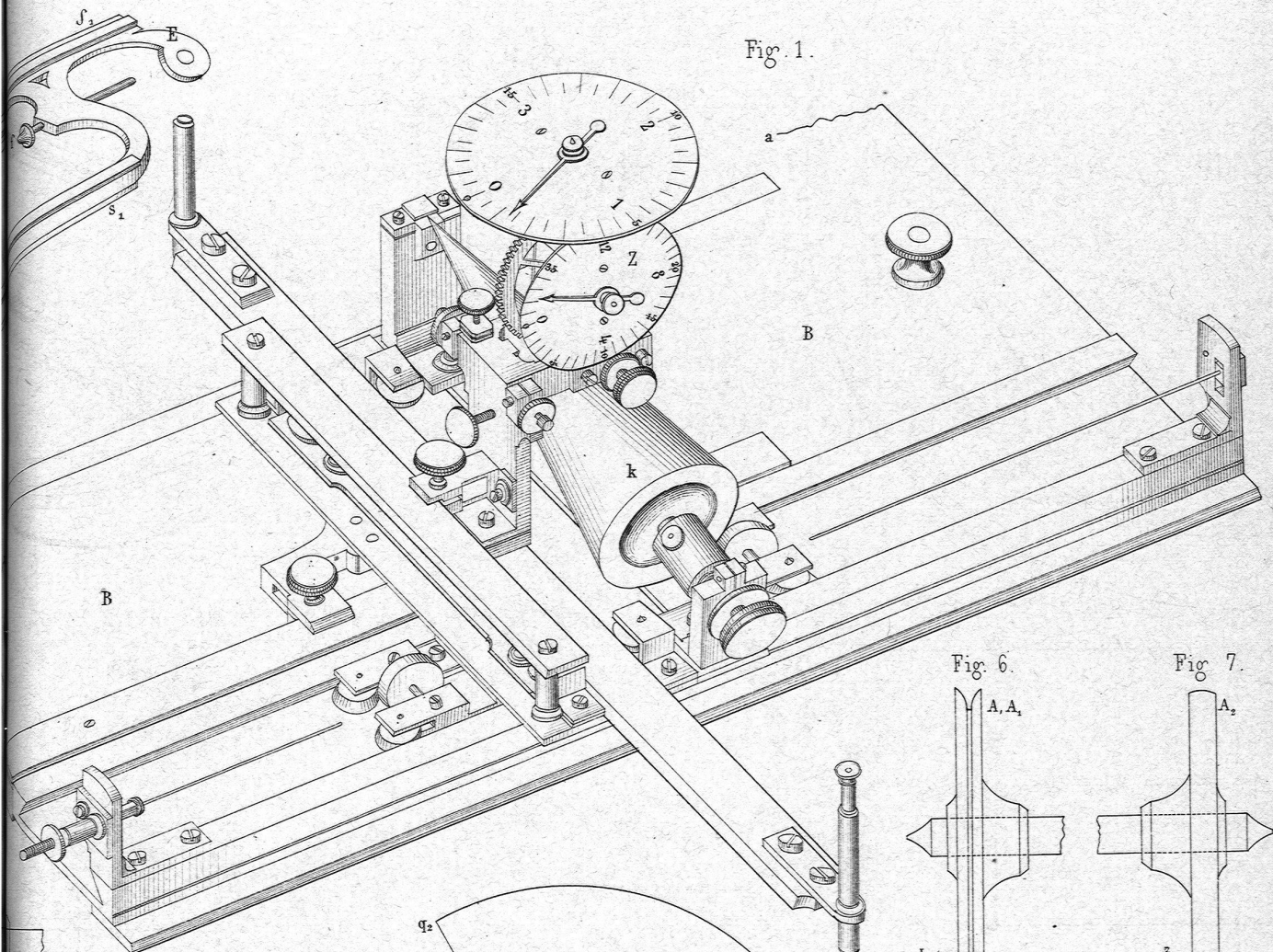


Fig. 1.

Fig. 6.

Fig. 7.

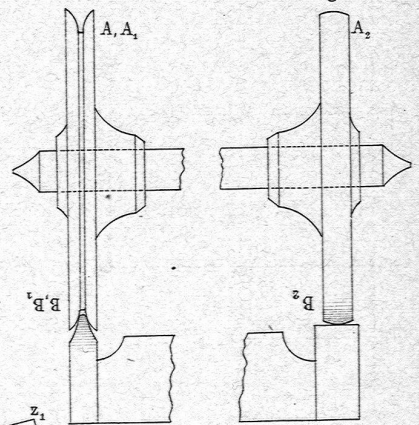


Fig. 10.

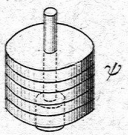


Fig. 14.

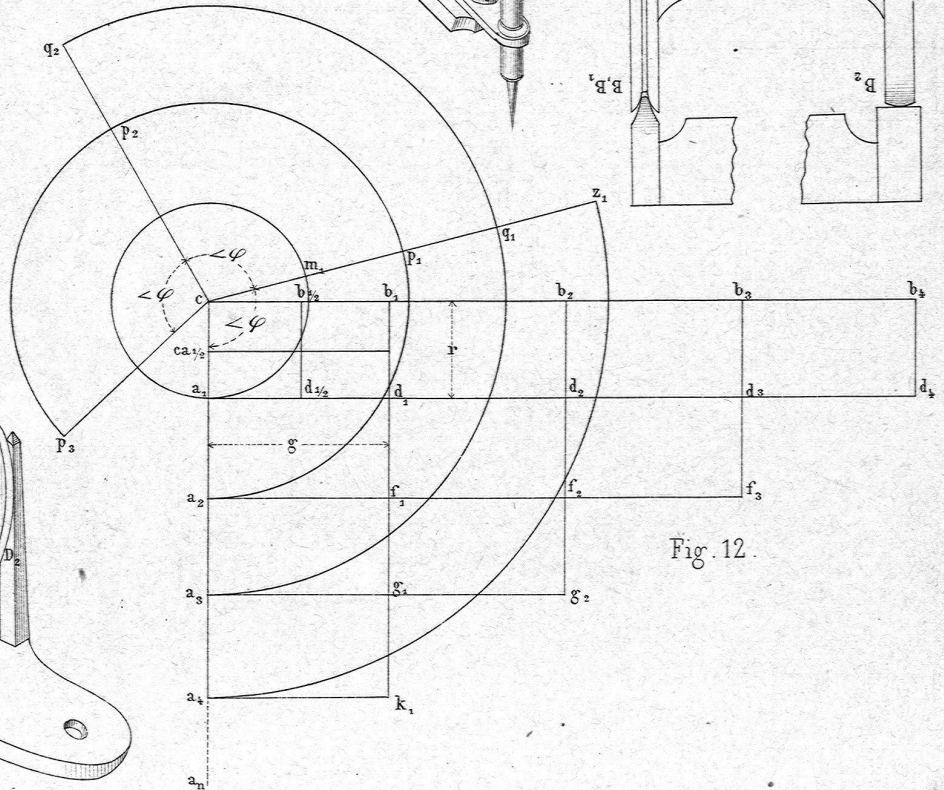
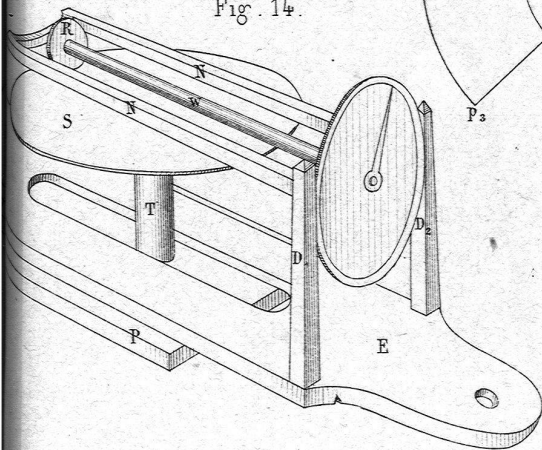


Fig. 12.

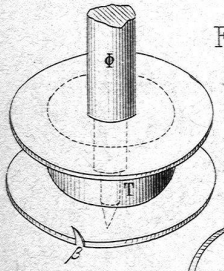


Fig. 5.

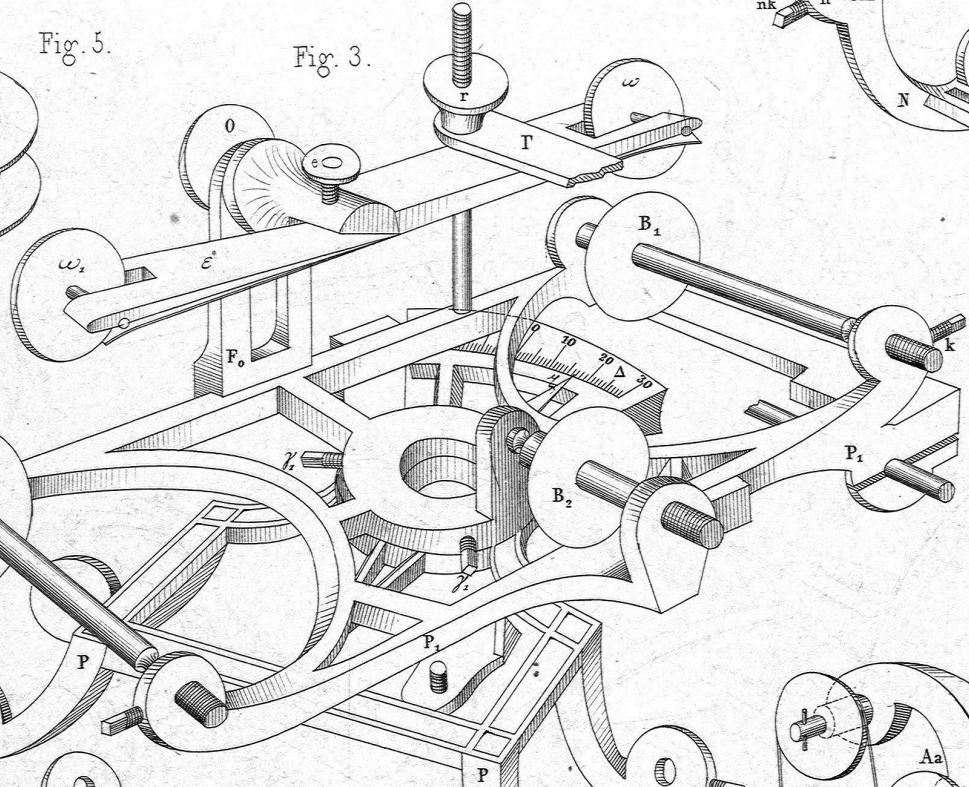


Fig. 3.

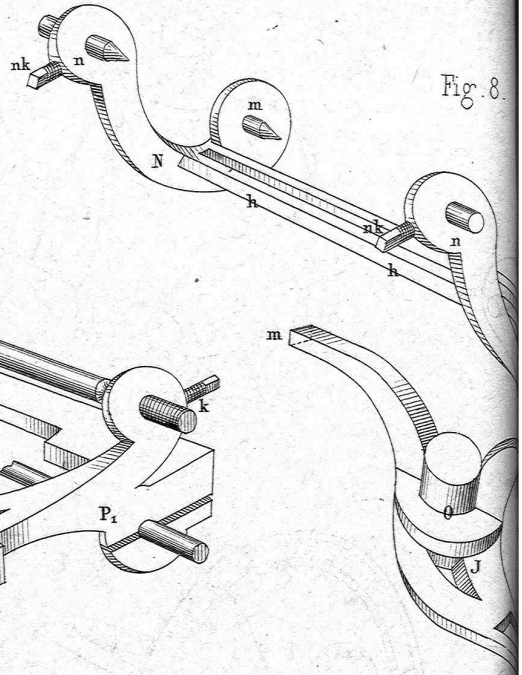


Fig. 8.

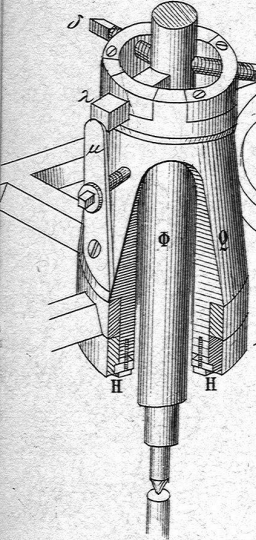


Fig. 4.

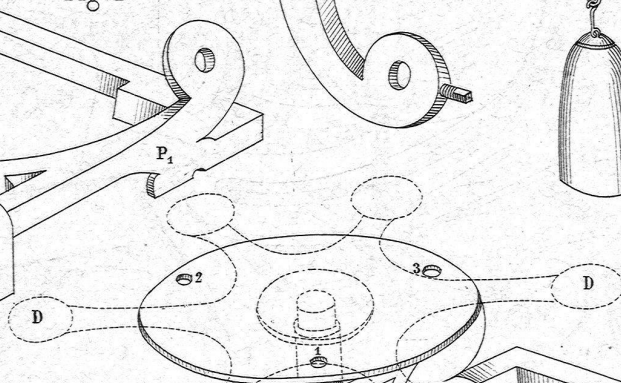
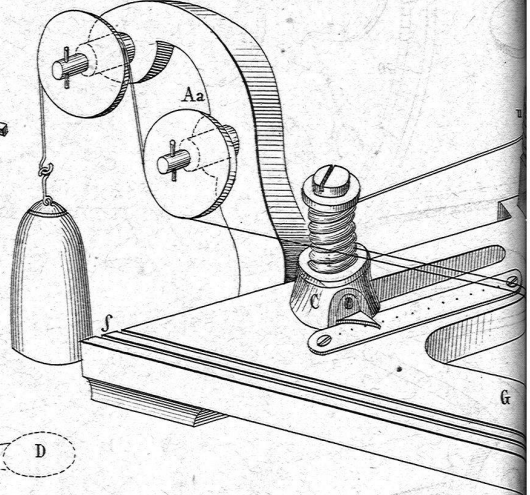


Fig. 6.

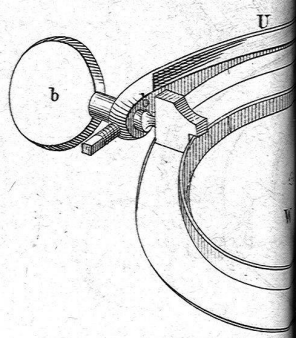
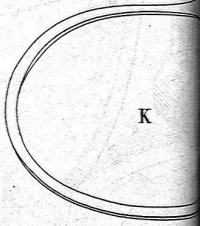
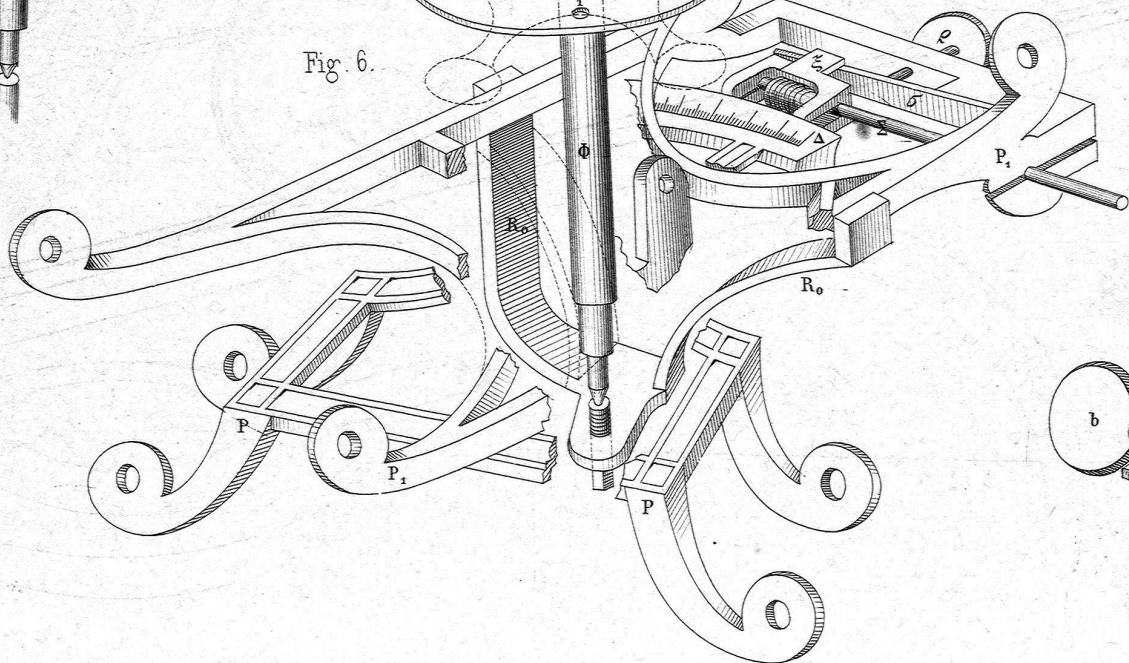


Fig. 10

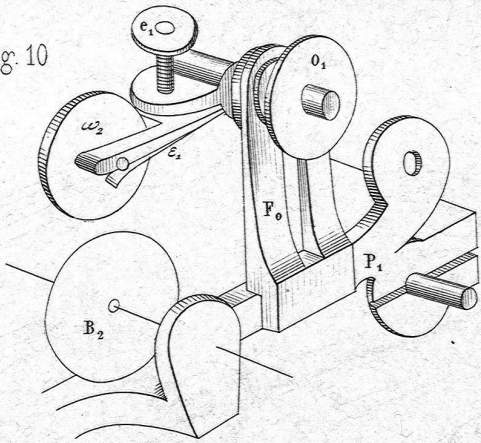


Fig. 2

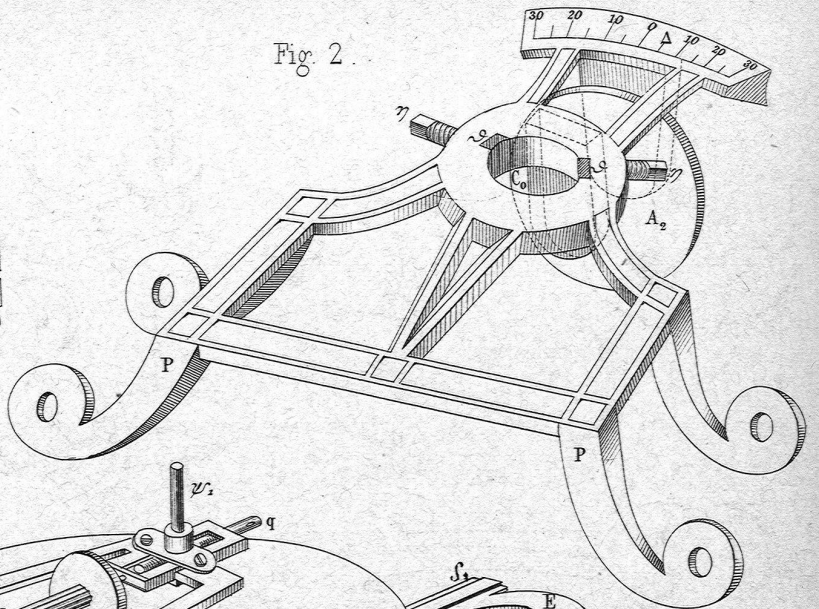


Fig. 1

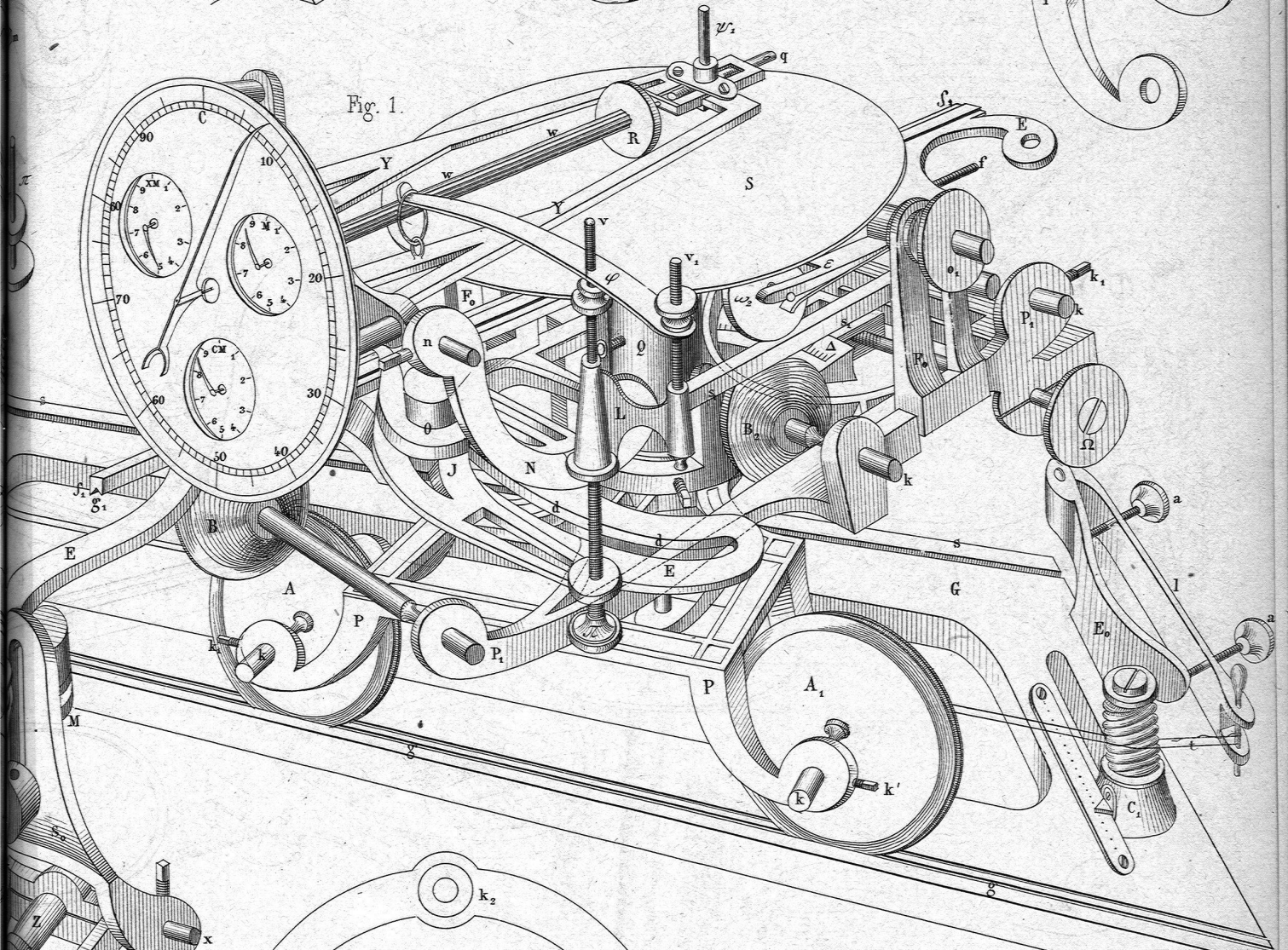


Fig. 9

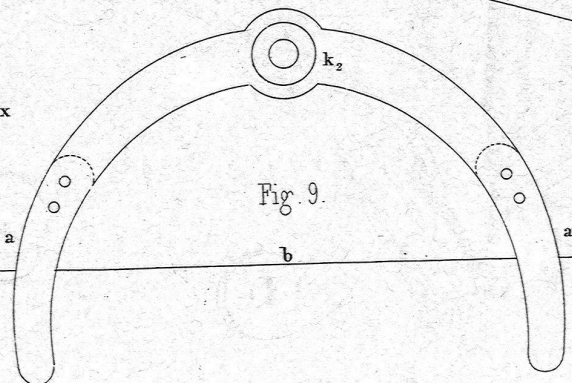


Fig. 11

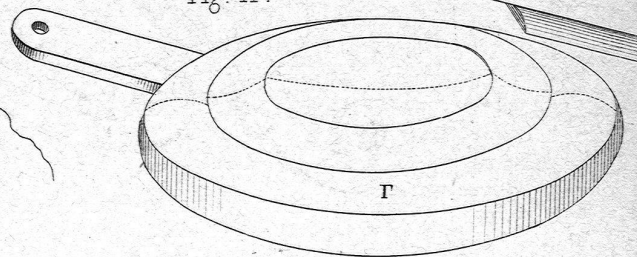


Fig. 1.

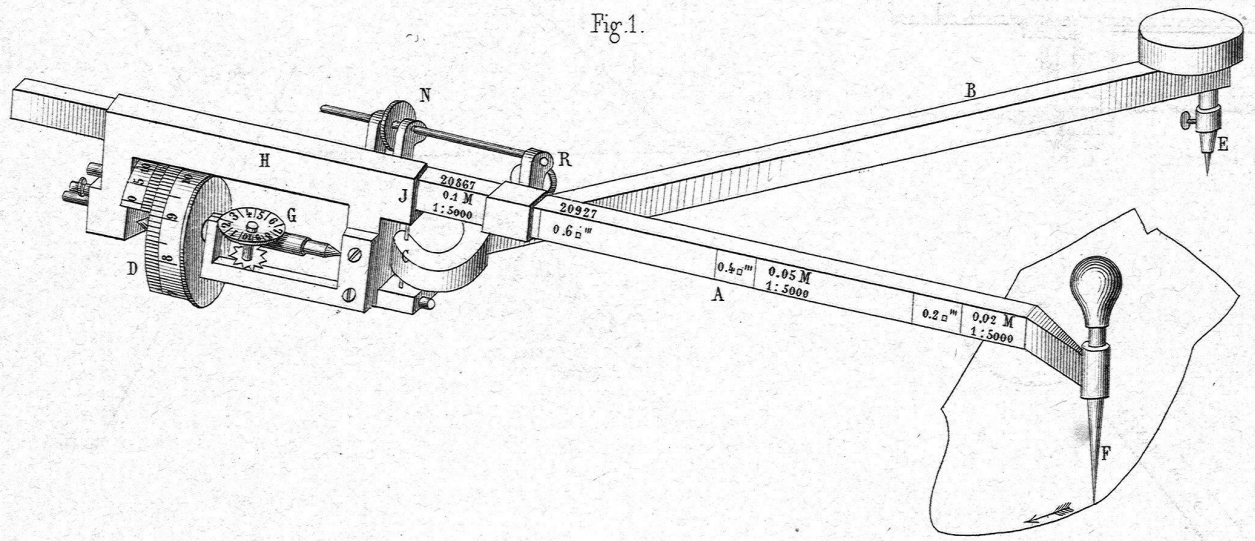


Fig. 12.

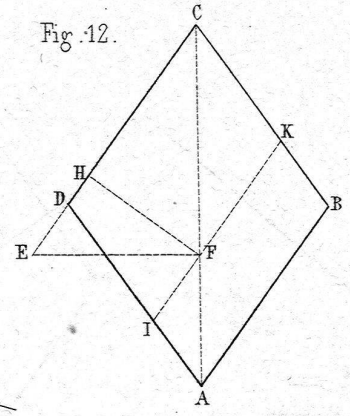
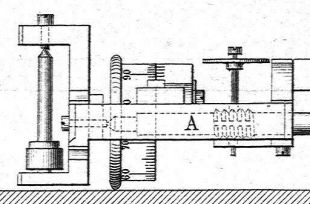
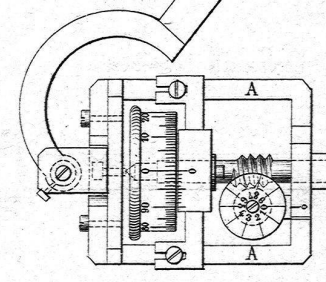
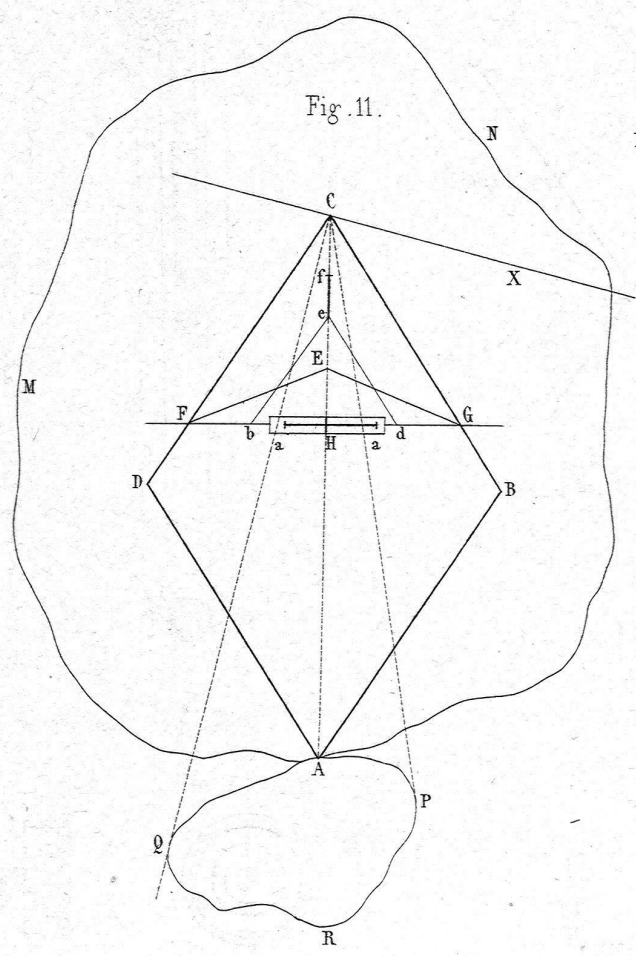


Fig. 11.



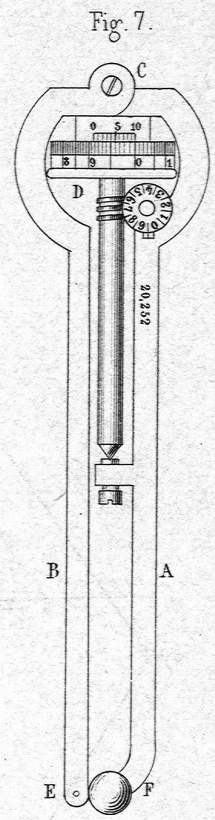
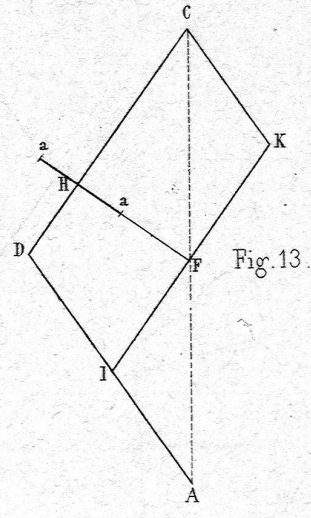
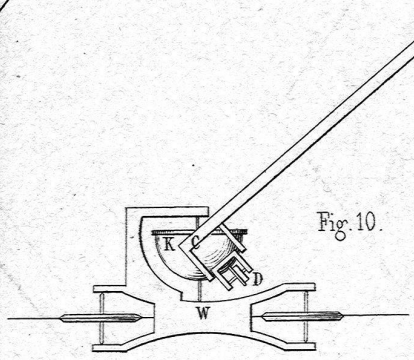
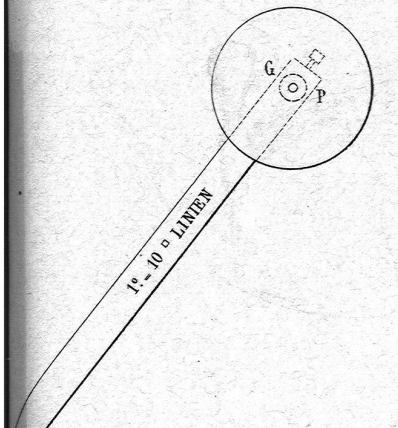
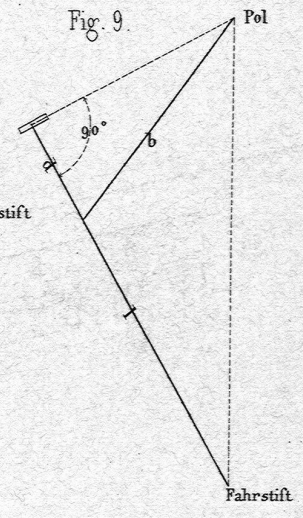
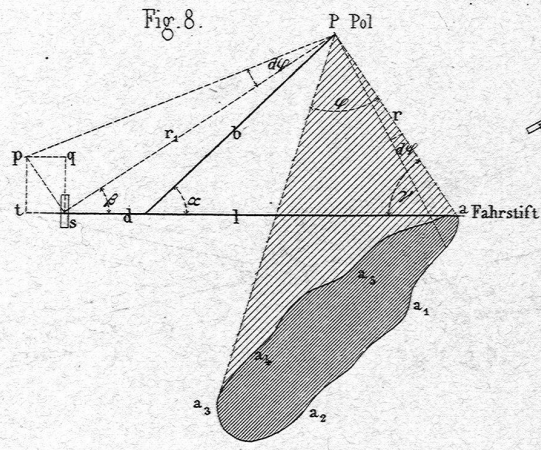
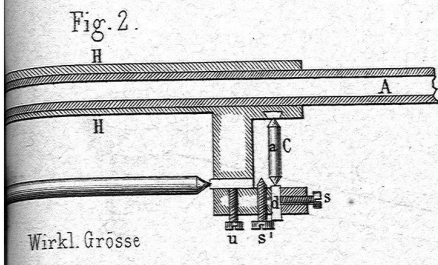


Fig. 3. Horizontale Projection.

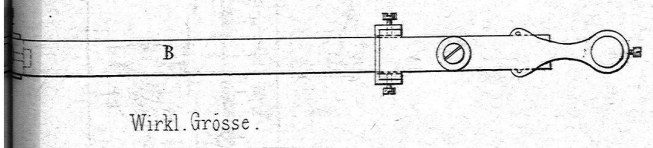


Fig. 4. Vertikale Projection.

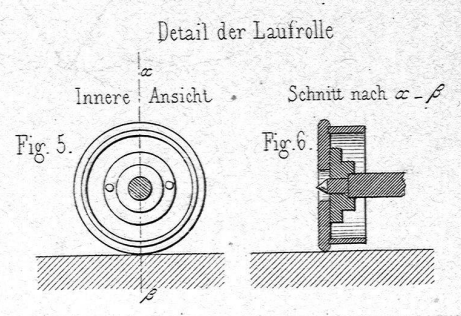
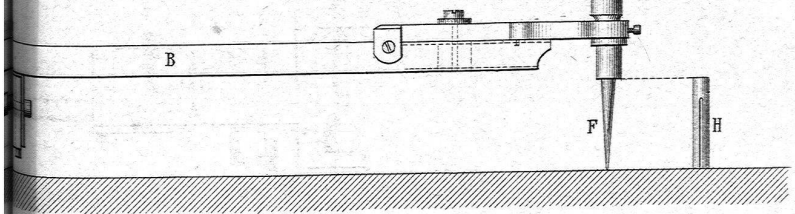


Fig. 1.

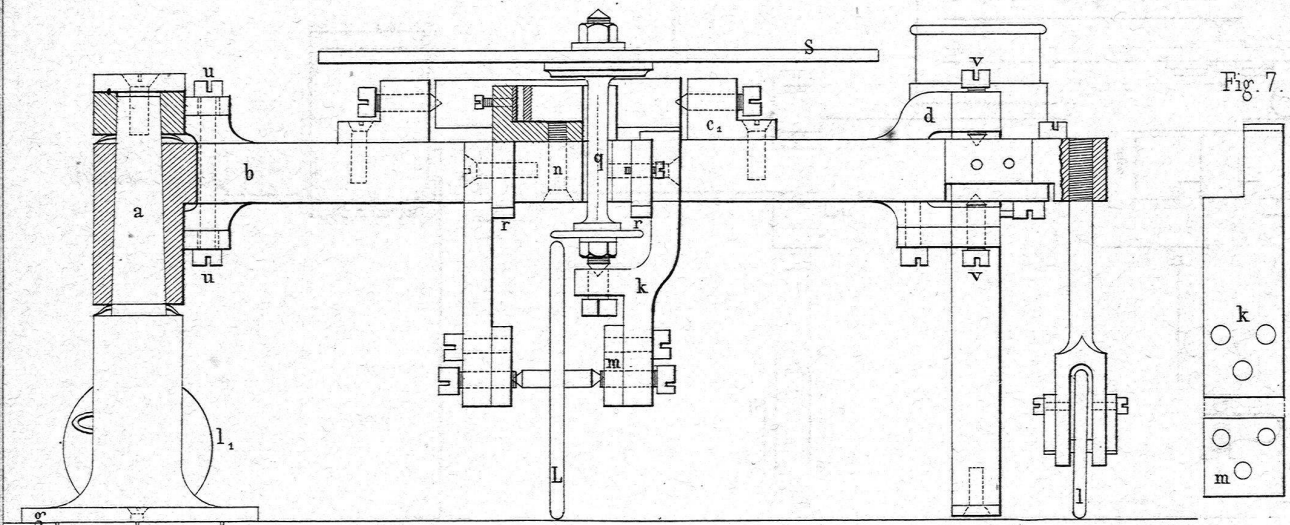


Fig. 7.

Fig. 5.

Fig. 6.

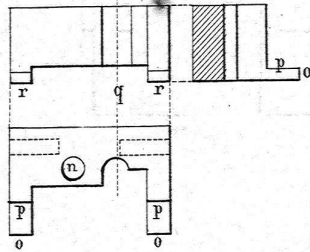
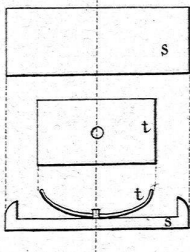


Fig. 3.

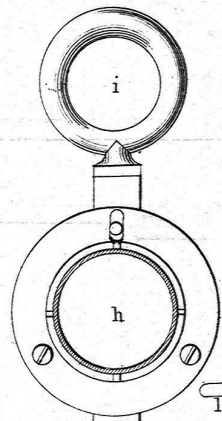


Fig. 8.

Fig. 9.

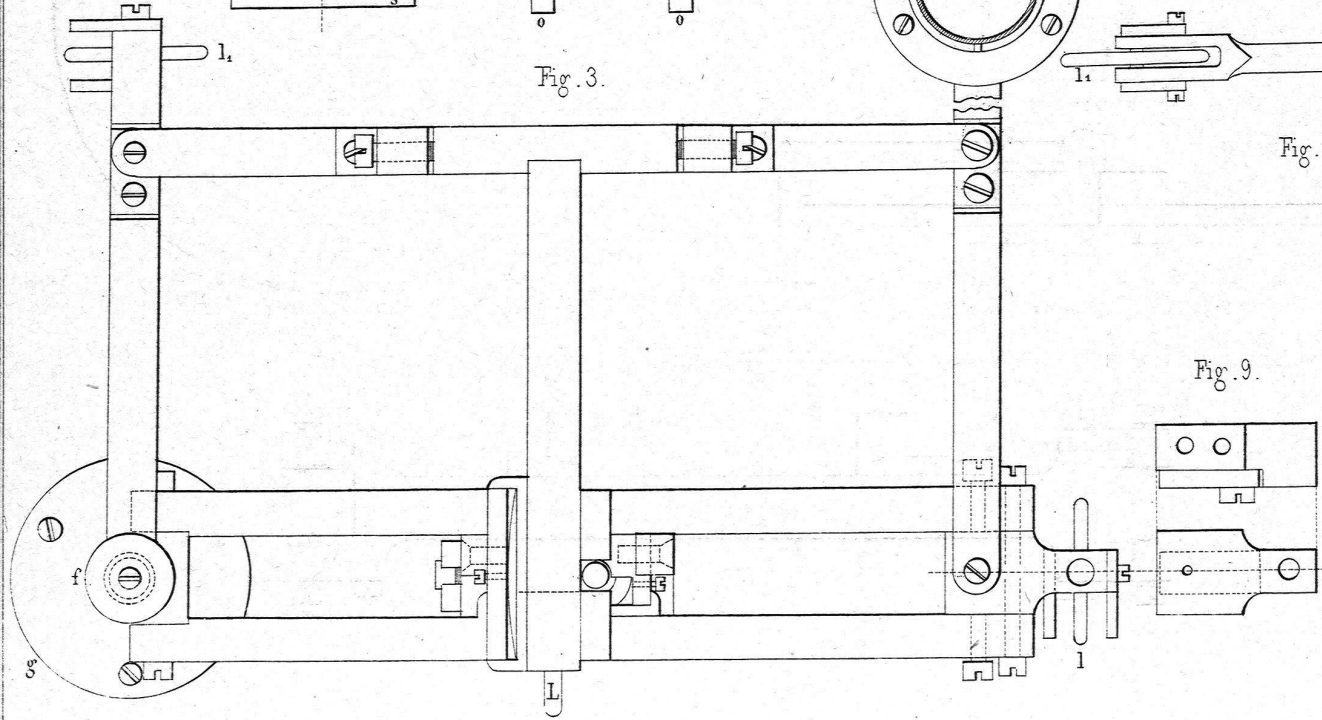




Fig. 2.

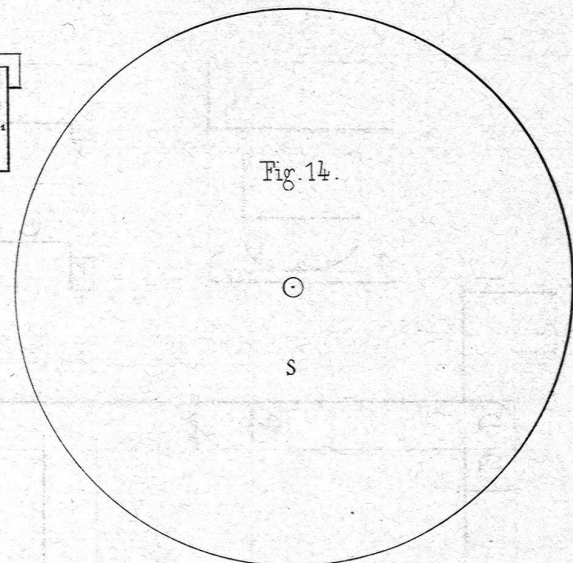
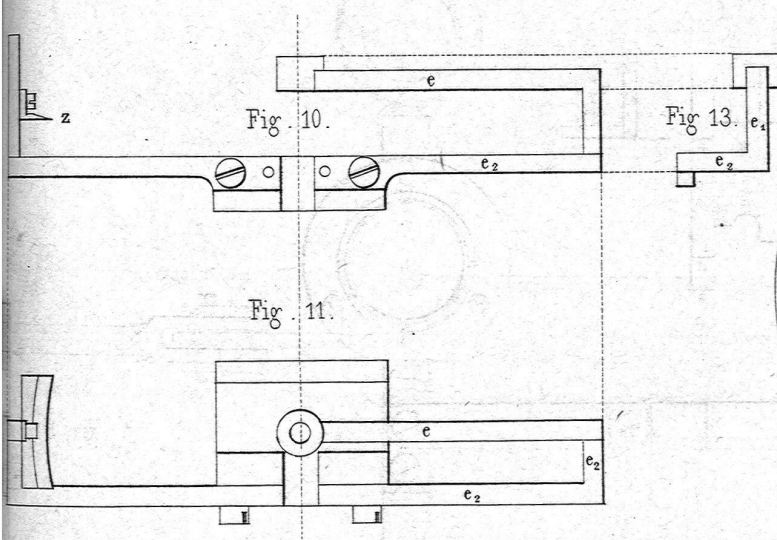
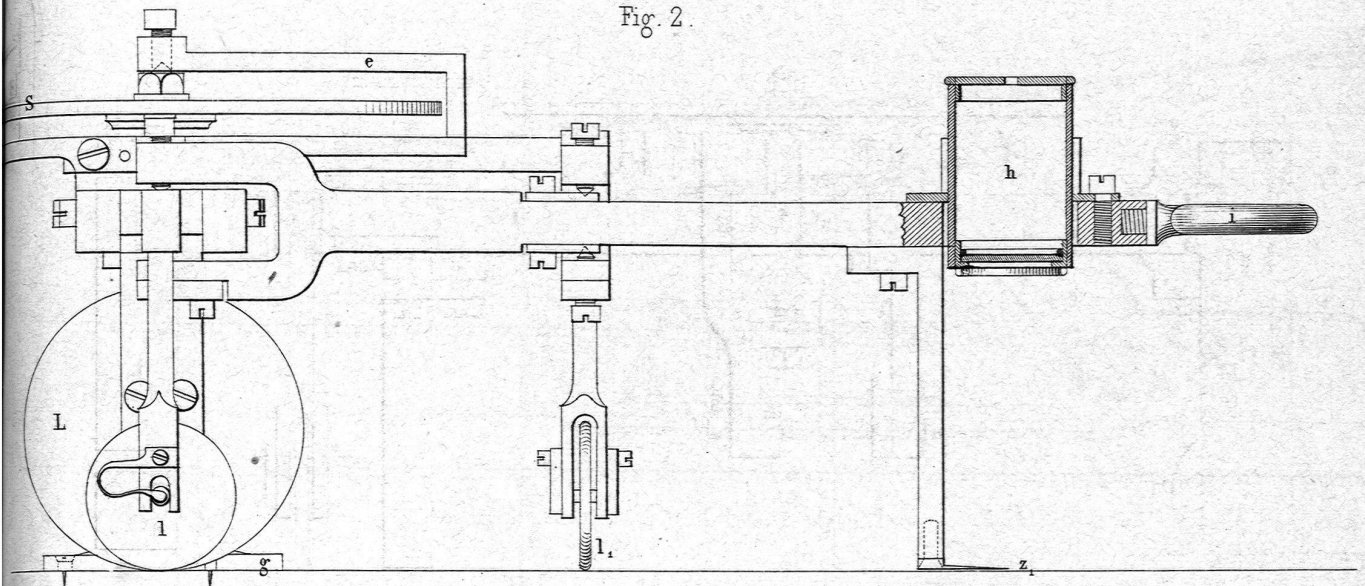
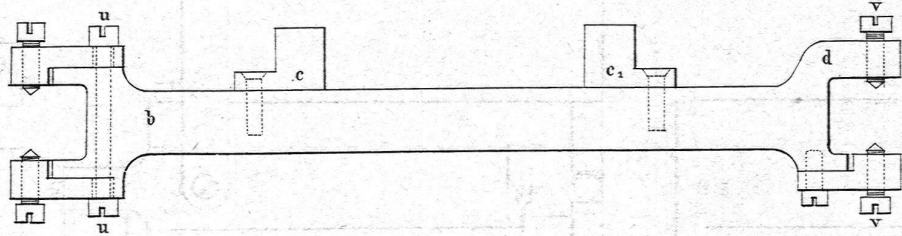
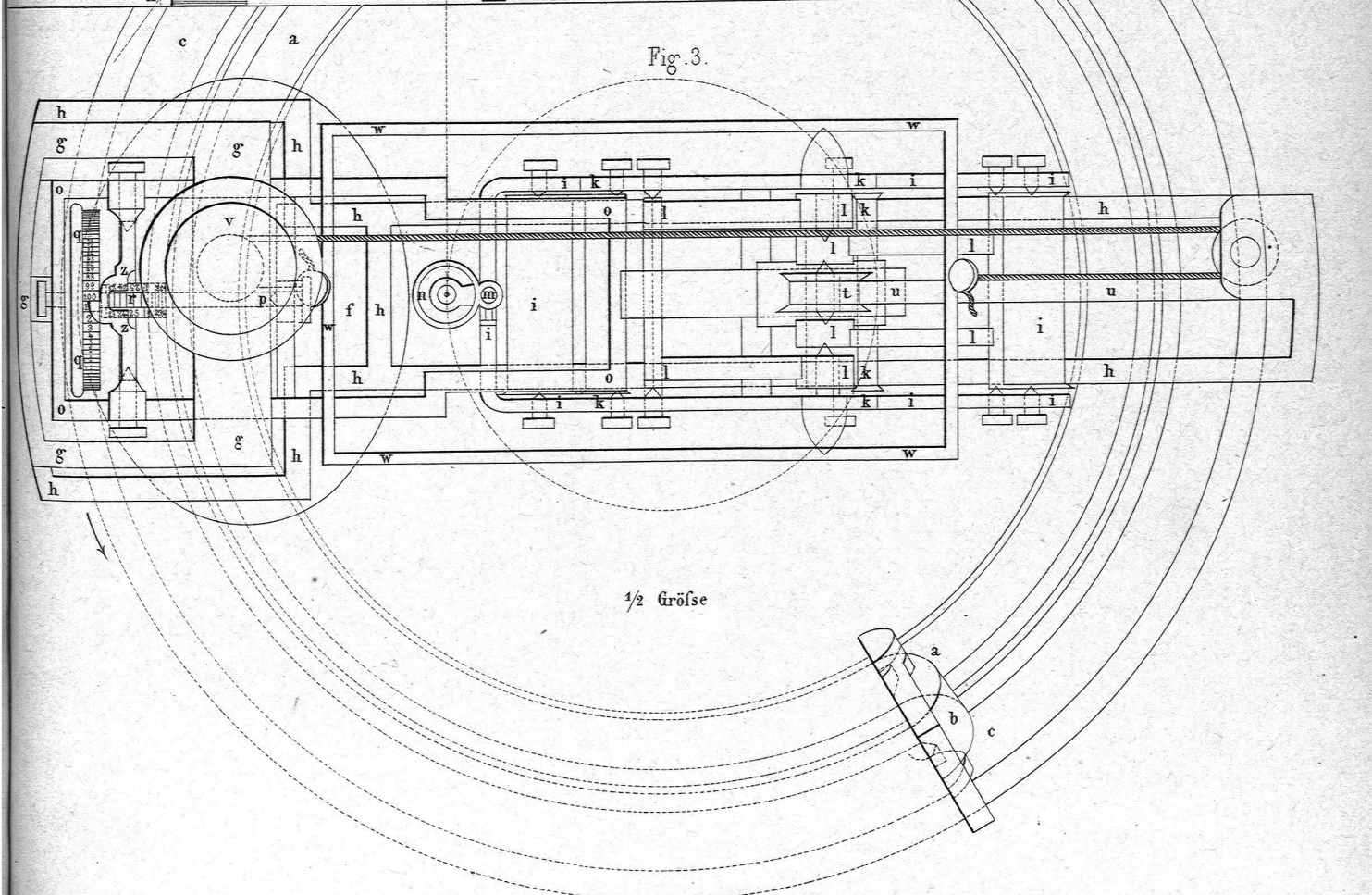
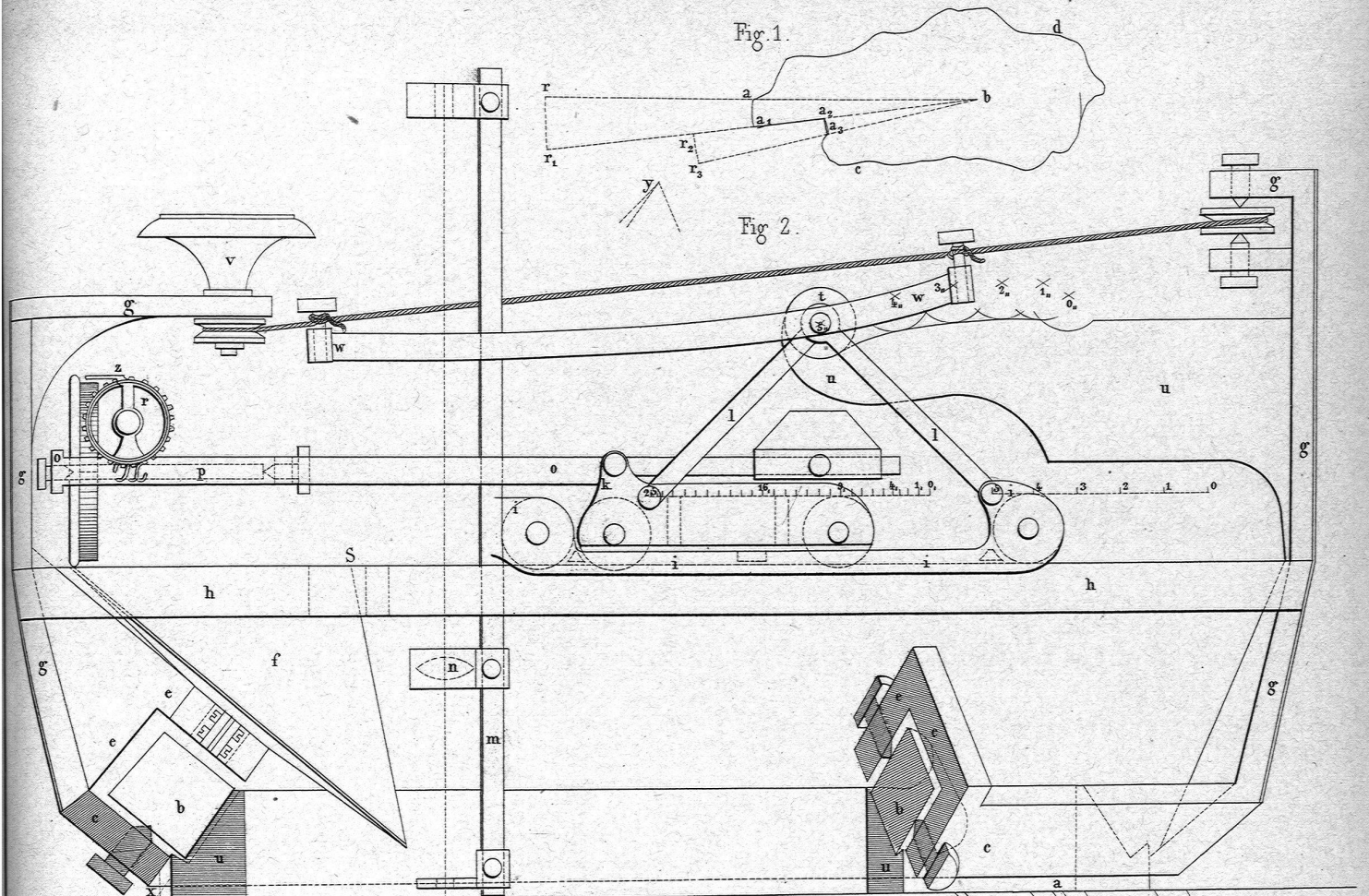


Fig. 12.





Canezzi u. Schlösser:  
Selbstthätig wirkende Metalldichtung.

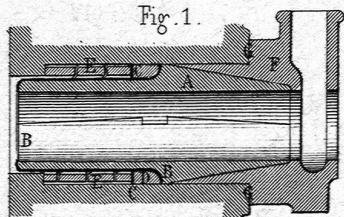


Fig. 2.

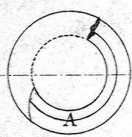
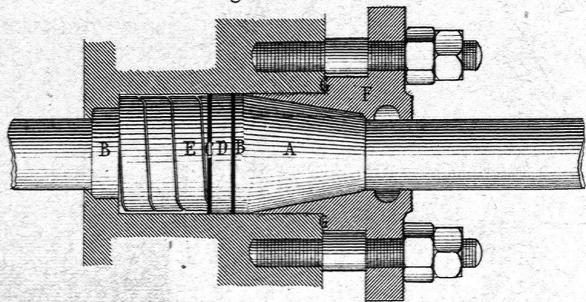


Fig. 3.



Waygood's direkt wirkende Dampfpumpe.

Fig. 4.

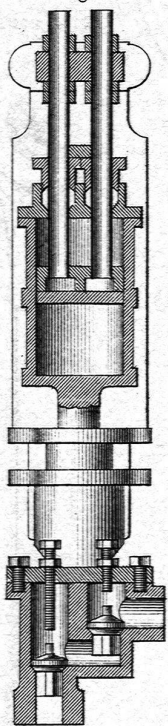


Fig. 5.

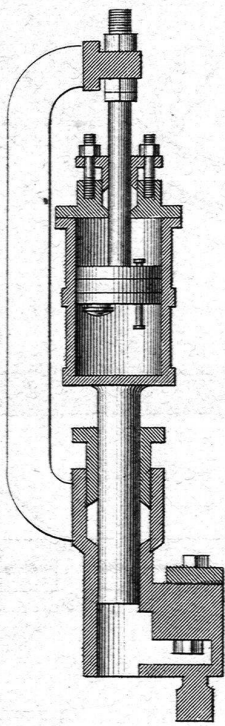


Fig. 6.

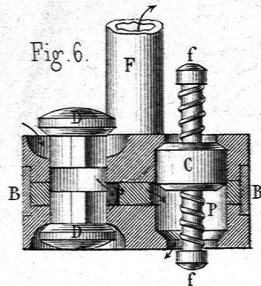


Fig. 7.

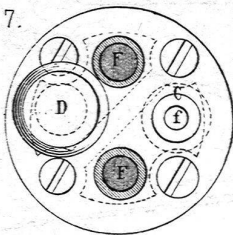
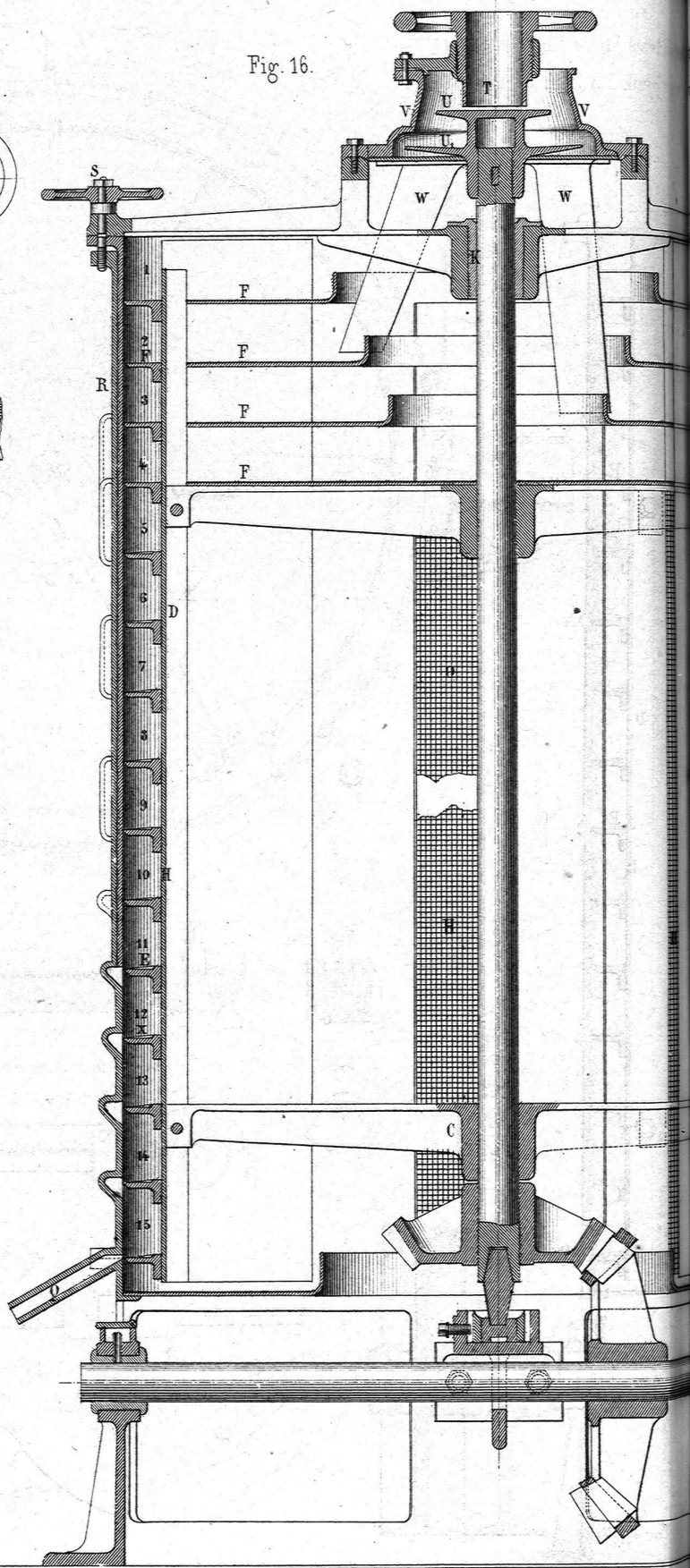


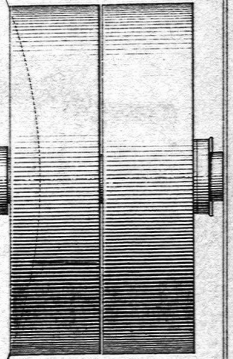
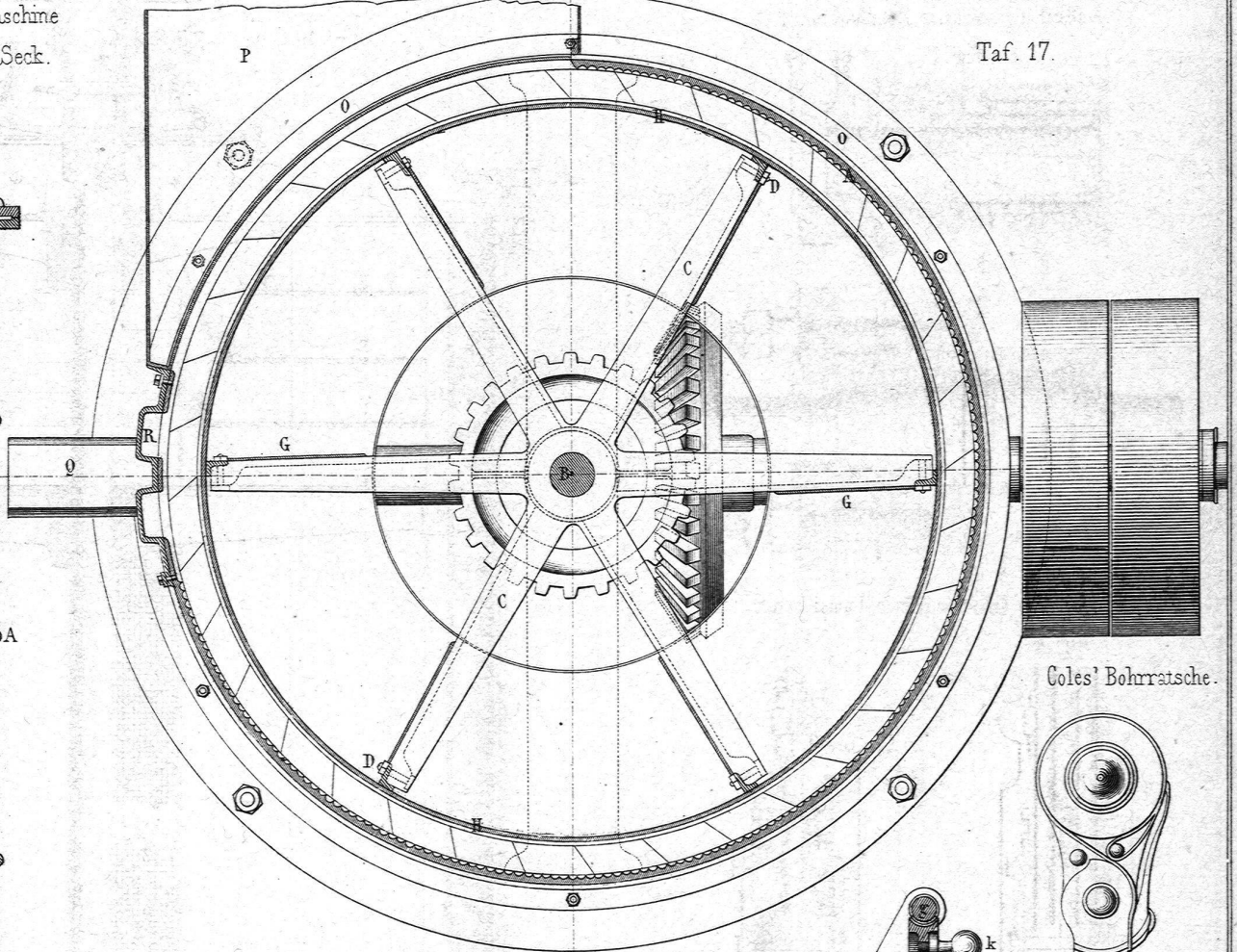
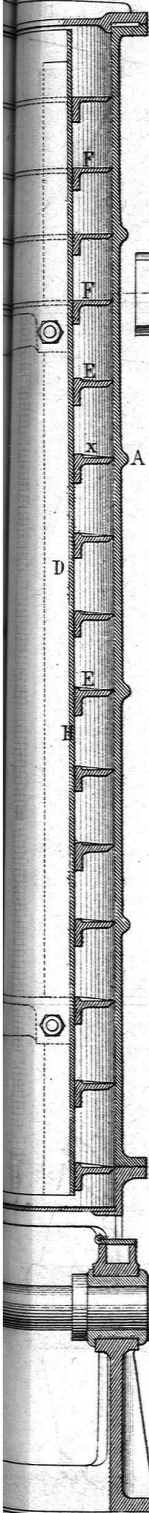
Fig. 16.



Bohrschälmaschine  
von Henkel u. Seck.

Taf. 17.

1/40.



Coles' Bohrratsche.

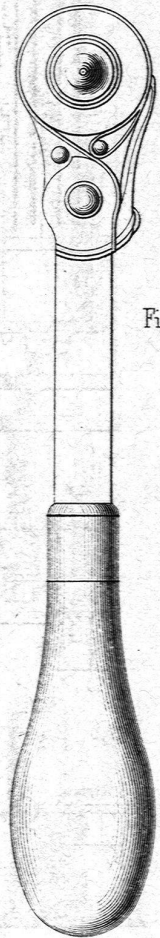
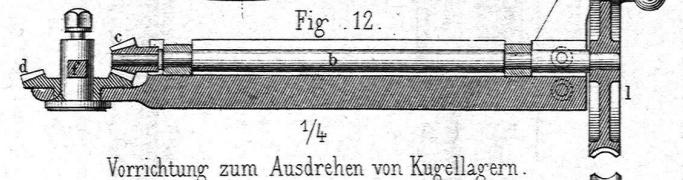
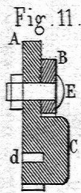
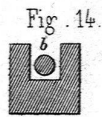
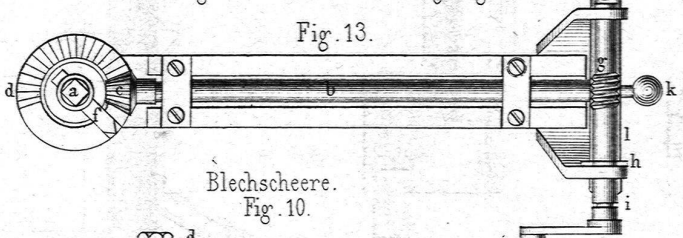


Fig. 8.



Vorrichtung zum Ausdrehen von Kugellagern.



Blechscheere.

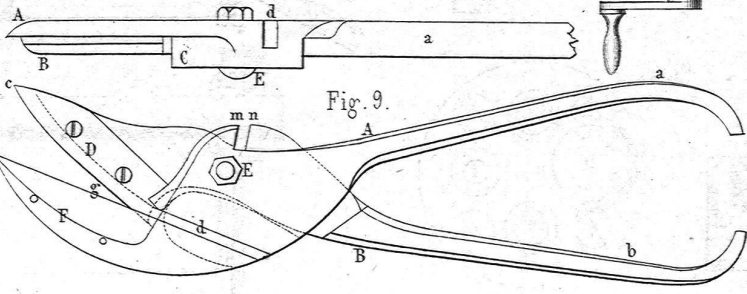


Fig. 9.

Fig. 10.